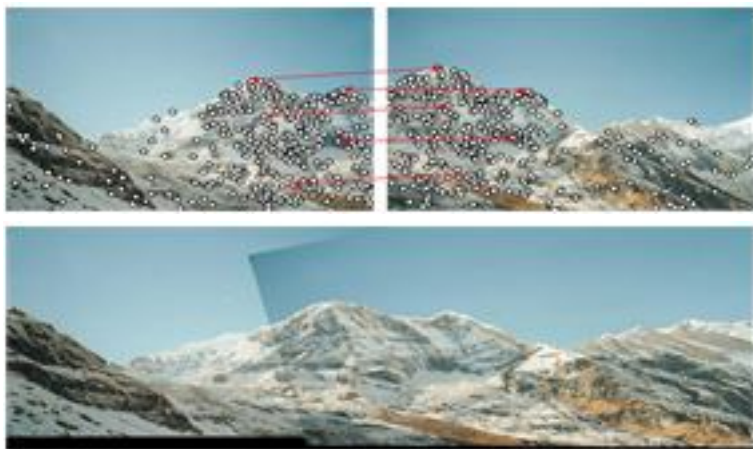
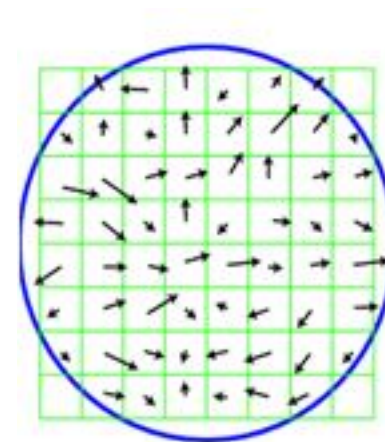
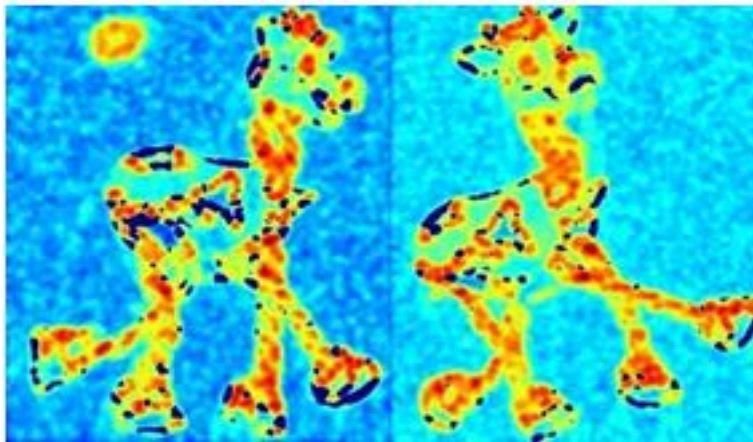




# Локальные особенности и согласование изображений

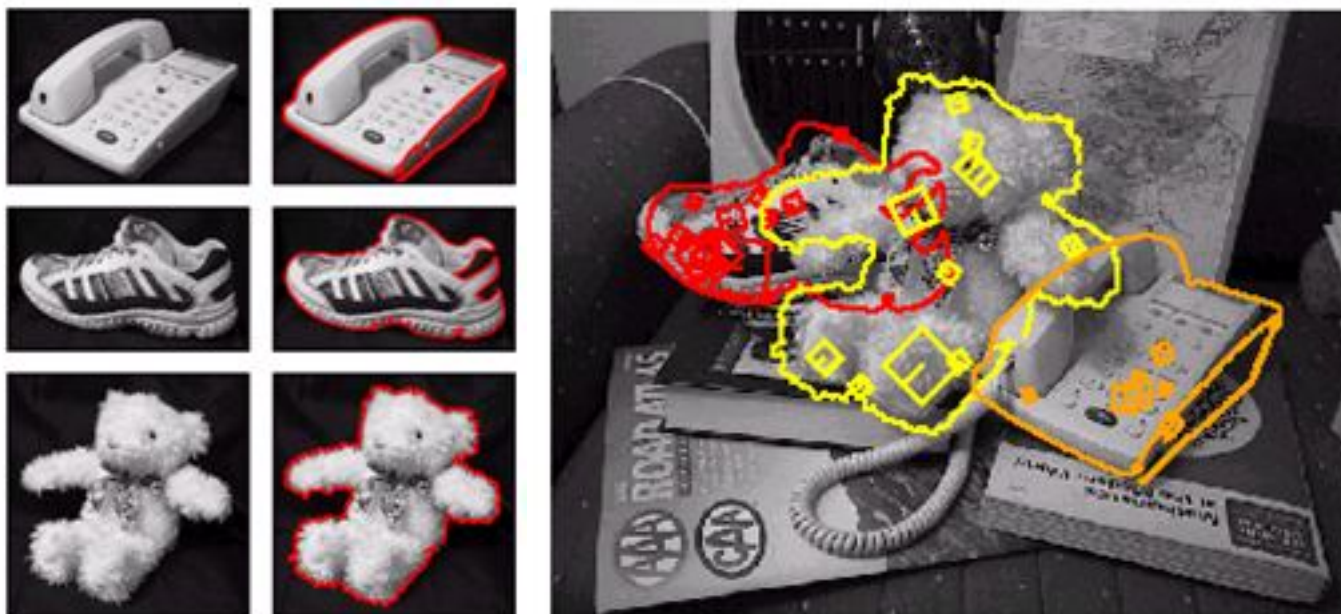


Антон Конушин



# Задача сопоставления изображений

---



- Есть несколько изображений конкретных объектов
- Хотим найти эти объекты на тестовом изображении
- Попробуем «сопоставить» изображения объектов с тестовым изображением
- Задача «image matching»



# Вводный пример

---

Где медведь?



Задача №1



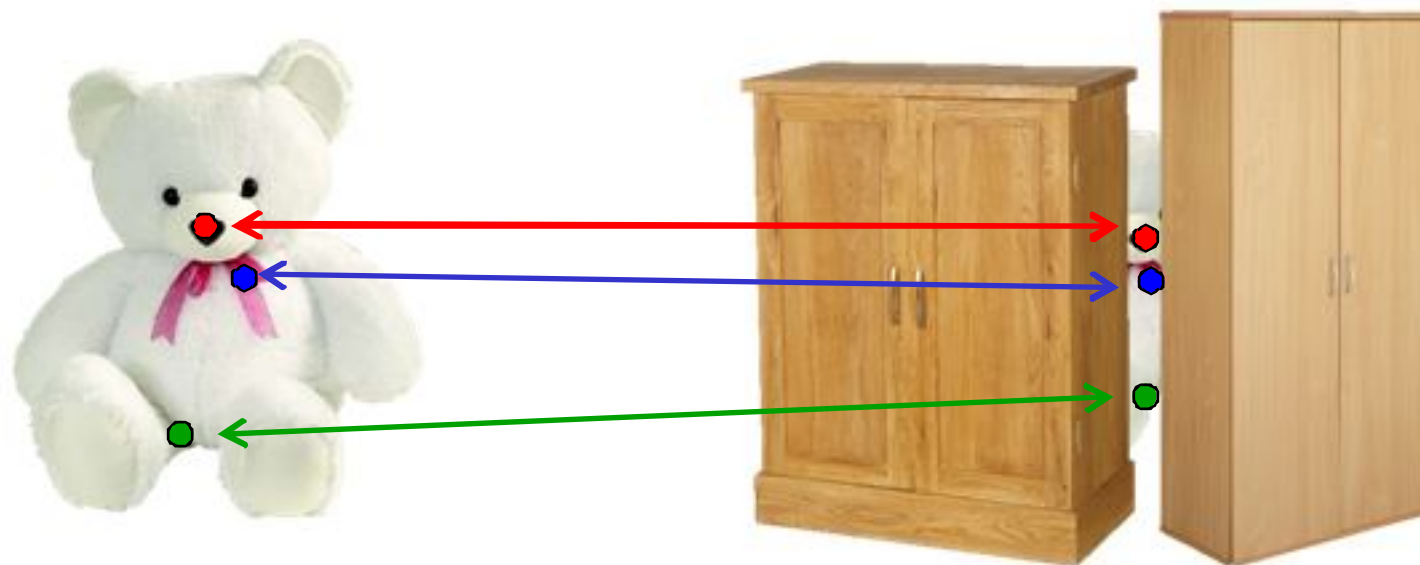
Задача №2

- Почему во втором случае было легче его найти?
- Были видны «характерные» фрагменты медведя



# Особенности (features)

---



- «Хорошо различимые фрагменты» объекта
  - «особенности» (features)
  - «характеристические точки» (characteristic points)
  - «локальные особые точки» (local feature points)
- Характерные фрагменты позволяют справиться с изменениями ракурса, масштаба и перекрытиями





# Требования

---

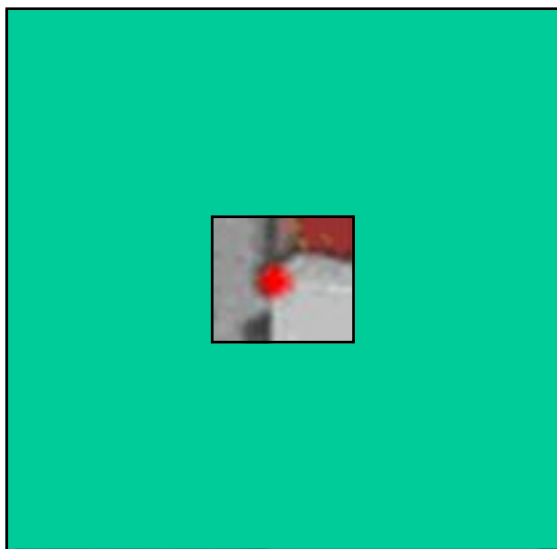


- Какие можно сформулировать требования к «хорошо различимым фрагментам» объекта?
- Отличаются от большинства других фрагментов объекта
- Инвариантны к изменению освещения
- Инвариантны к изменению ракурса
  - Можно находить одну и ту же точку на измененных изображениях
  - Можем «идентифицировать» эту точку

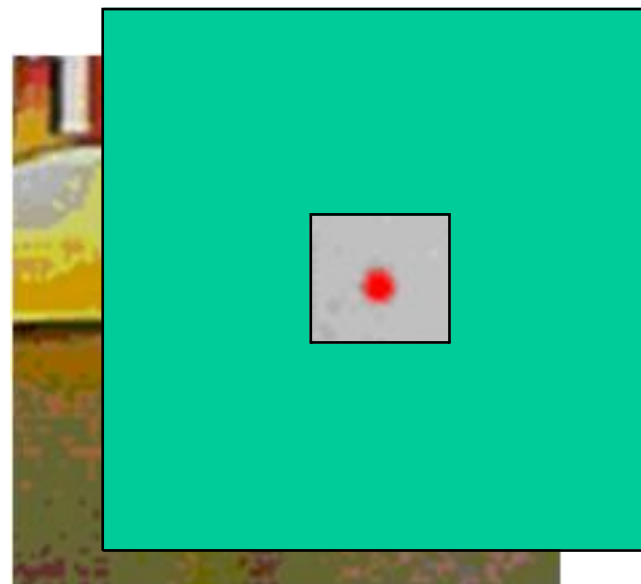


# Локальные особенности

---



Пример особой  
точки



Пример точки, не  
являющейся особой

- Какая из двух точек является характерной («особой»)?
- Локальная (особая) точка  $p$  изображения  $I$  должна обладать «характерной окрестностью»  $D$ , т.е. отличаться от всех точек в некоторой окрестности  $p$
- Для определения, является ли точка «характерной», нам достаточно только её окрестности



# Два основных класса особенностей

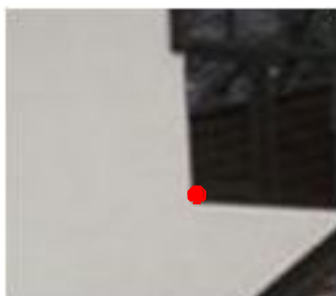
---



уголки (corners)



пятна (blobs)





# Применение

---



Поиск и выделение объектов, распознавание изображений





# Применение

---



Поиск изображений по содержанию в базе изображений



# Применение

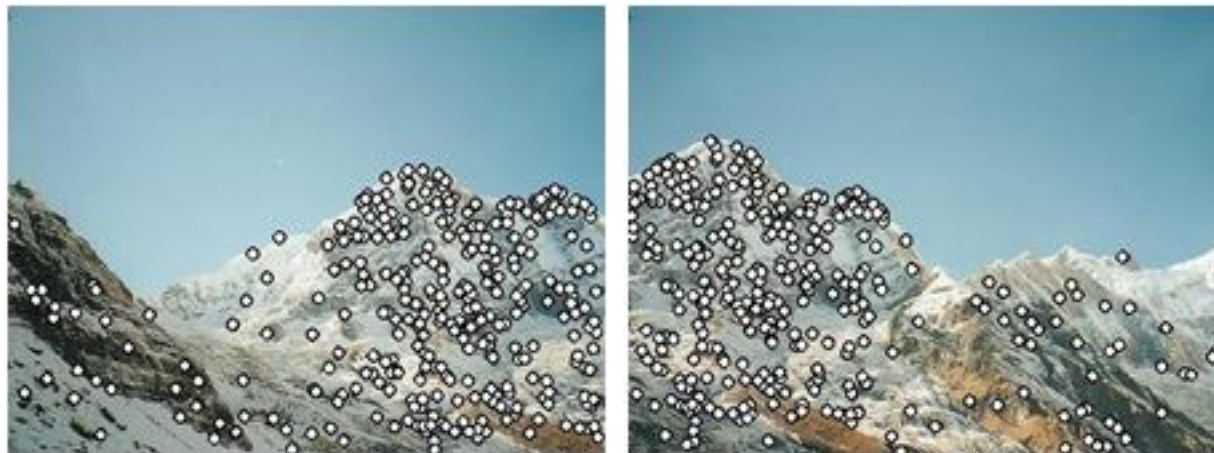


Сопоставление изображений, построение панорам и  
трёхмерная реконструкция



# Требования к особенностям

---



- Локальность (Locality)
  - Особенность занимает маленькую область изображения, поэтому работа с ней нечувствительна к перекрытиям
- Повторимость (Repeatability)
  - Особенность находится в том же месте объекта не смотря на изменения масштаба, положения, ракурса и освещения
- Значимость (Saliency)
  - Каждая особенность имеет уникальное (distinctive) описание
- Компактность и эффективность
  - Количество особенностей существенно меньше числа пикселей изображения





# Повторимость

---

- Особенность должна находиться в том же месте объекта не смотря на изменения масштаба, положения, ракурса и освещения изображения
- Как можно это проверить?
  - Выделим характерные особенности на изображении объекта
  - Применим к изображению геометрическое или цветовое преобразование
  - Выделим характерные особенности на изменённом изображении, они должны найтись в тех же местах объекта
- Метод выделения особенностей должен быть **«инвариантным»** к преобразованиям



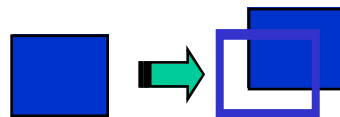




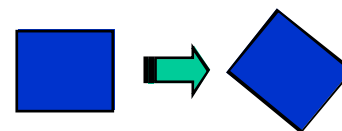
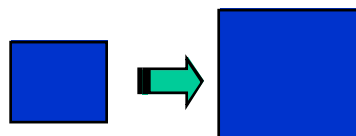
# Геометрические преобразования

---

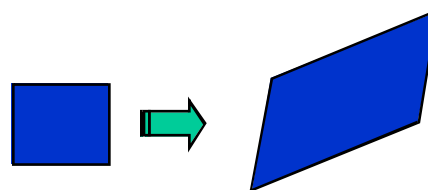
- Параллельный перенос



- Подобие (перенос, масштаб, поворот)



- Аффинное



Аффинное преобразование даёт хорошее приближение искажений, претерпеваемых небольшим плоским фрагментом объекта при малом изменении ракурса



# Геометрические преобразования

---

- Параллельный перенос

$$\begin{bmatrix} x'_i \\ y'_i \end{bmatrix} = \begin{bmatrix} x_i \\ y_i \end{bmatrix} + \begin{bmatrix} t_1 \\ t_2 \end{bmatrix}$$

- Евклидово преобразование  
(M – ортогональная матрица)

$$\begin{bmatrix} x'_i \\ y'_i \end{bmatrix} = \begin{bmatrix} m_1 & m_2 \\ m_3 & m_4 \end{bmatrix} \begin{bmatrix} x_i \\ y_i \end{bmatrix} + \begin{bmatrix} t_1 \\ t_2 \end{bmatrix}$$

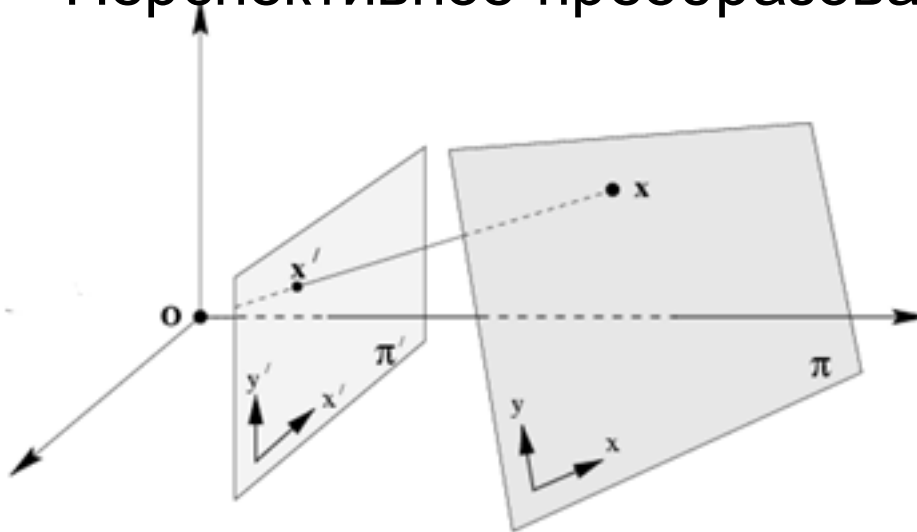
- Аффинное преобразование

$$\begin{bmatrix} x'_i \\ y'_i \end{bmatrix} = \begin{bmatrix} m_1 & m_2 \\ m_3 & m_4 \end{bmatrix} \begin{bmatrix} x_i \\ y_i \end{bmatrix} + \begin{bmatrix} t_1 \\ t_2 \end{bmatrix}$$



# Гомография

## Перспективное преобразование плоскости



$$\begin{bmatrix} u \\ v \\ w \end{bmatrix} \cong \begin{bmatrix} h_{11} & h_{12} & h_{13} \\ h_{21} & h_{22} & h_{23} \\ h_{31} & h_{32} & h_{33} \end{bmatrix} * \begin{bmatrix} x \\ y \\ 1 \end{bmatrix}$$

Перевод в  
однородные  
координаты

$$(x, y) \Rightarrow \begin{bmatrix} x \\ y \\ 1 \end{bmatrix}$$

Перевод из  
однородных  
координат

$$\begin{bmatrix} x \\ y \\ w \end{bmatrix} \Rightarrow (x/w, y/w)$$

Удобнее представлять себе так:

$$\begin{bmatrix} wx & wy & w \end{bmatrix}^T \cong \begin{bmatrix} x & y & 1 \end{bmatrix}^T \cong \begin{bmatrix} x & y \end{bmatrix}^T$$



# Гомография



- Преобразование между 2мя разными видами одной и той же плоскости



- Преобразование между видами с повернутой камеры (центр проекции общий)



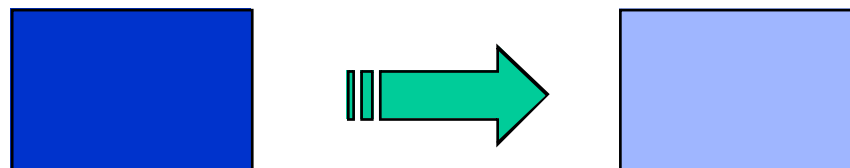




# Фотометрическое преобразование

---

**Аффинное изменение яркости ( $I \rightarrow a I + b$ )**



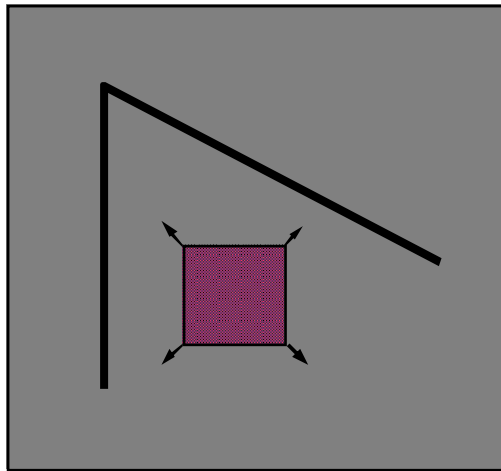
Его вполне достаточно для моделирования устойчивости методы выделения особенностей к изменению условий освещения

Особенно, если будем работать с серыми изображениями!

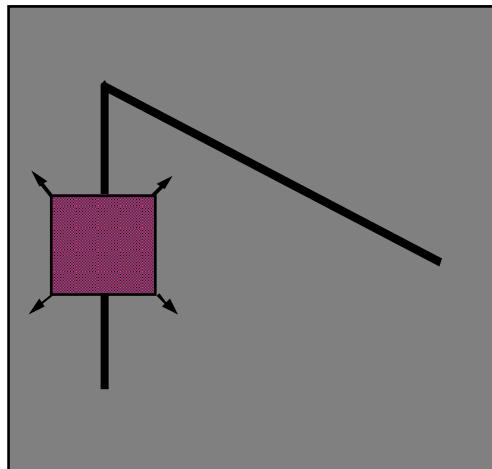


# Локальные особенности

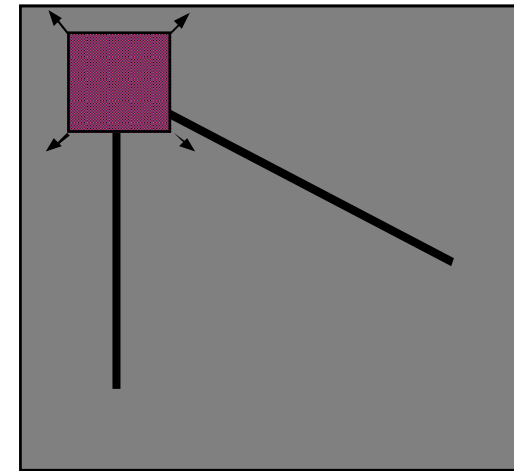
Проведём эксперимент, будем рассматривать разные точки на изображении и проверять, являются ли они локальными особенностями



*монотонный* регион:  
в любом направлении  
изменений нет



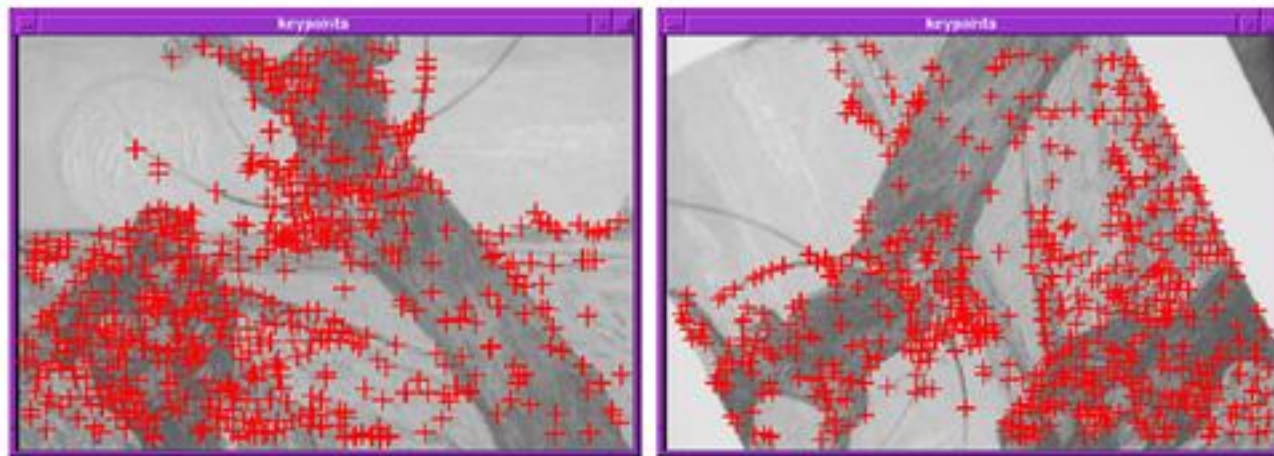
«край»:  
вдоль края  
изменений нет



«уголок»:  
изменения при  
перемещении  
в любую сторону



# Детектор Харриса



- Наиболее популярный детектор локальных особенностей точек – детектор Харриса (Harris)
- Ищет такие точки  $(x, y)$ , окрестность которых меняется при любом сдвиге  $(x+u, y+v)$
- Такие точки обычно оказываются углами, поэтому метод ещё называют «детектор углов»

C.Harris and M.Stephens. ["A Combined Corner and Edge Detector."](#)  
*Proceedings of the 4th Alvey Vision Conference*: pages 147—151, 1988



# Устройство метода

Изменение окрестности точки  $(x, y)$  при сдвиге  $[u, v]$ :

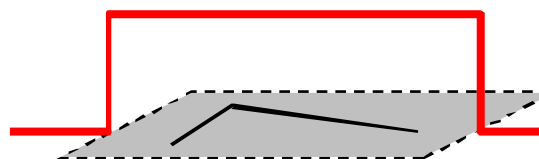
$$E(u, v) = \sum_{x, y} w(x, y) [I(x + u, y + v) - I(x, y)]^2$$

Функция  
окна

Сдвиг  
яркости

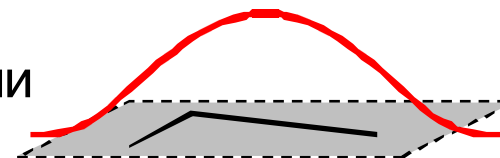
Яркость

Функция окна  $w(x, y) =$



1 в окне, 0 вне

или



Гауссиана





## Устройство метода

---

Изменение окрестности точки при сдвиге  $[u, v]$ :

$$E(u, v) = \sum_{x, y} w(x, y) [I(x + u, y + v) - I(x, y)]^2$$

Разложение в ряд Тейлора 2го порядка  $I(x, y)$  вокруг  $(x, y)$   
(билинейная интерполяция при маленьких сдвигах)

$$[I(x + u, y + v) - I(x, y)]^2 \cong [I(x, y) + I_x u + I_y v - I(x, y)]^2$$

$$= [I_x u + I_y v]^2 = I_x^2 u^2 + 2 I_x I_y uv + I_y^2 v^2$$

$$= (u, v) \begin{bmatrix} I_x^2 & I_x I_y \\ I_x I_y & I_y^2 \end{bmatrix} (u, v)^T$$



# Устройство метода

---

Итого изменение окрестности можно свести к:

$$E(u, v) \approx [u \ v] M \begin{bmatrix} u \\ v \end{bmatrix}$$

где  $M$  – матрица  $2 \times 2$  вычисленная по частным производным:

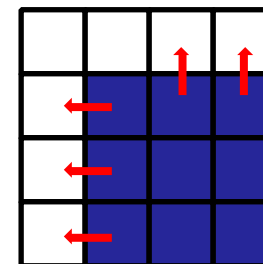
$$M = \sum_{x,y} w(x, y) \begin{bmatrix} I_x^2 & I_x I_y \\ I_x I_y & I_y^2 \end{bmatrix}$$

$$M = \begin{bmatrix} \sum I_x I_x & \sum I_x I_y \\ \sum I_x I_y & \sum I_y I_y \end{bmatrix} = \sum \begin{bmatrix} I_x \\ I_y \end{bmatrix} [I_x \ I_y] = \sum \nabla I (\nabla I)^T$$



# Интерпретация матрицы моментов

Рассмотрим случай, когда градиенты выровнены по осям (вертикальные или горизонтальные)



$$M = \sum \begin{bmatrix} I_x^2 & I_x I_y \\ I_x I_y & I_y^2 \end{bmatrix}$$

Если одно из  $\lambda$  близко к 0, тогда это не угол, и нужно искать другие точки



# Общий случай

$M$  – симметричная, поэтому её можно привести к диагональному виду:

$$M = R^{-1}DR = R^{-1} \begin{bmatrix} \lambda_1 & 0 \\ 0 & \lambda_2 \end{bmatrix} R$$

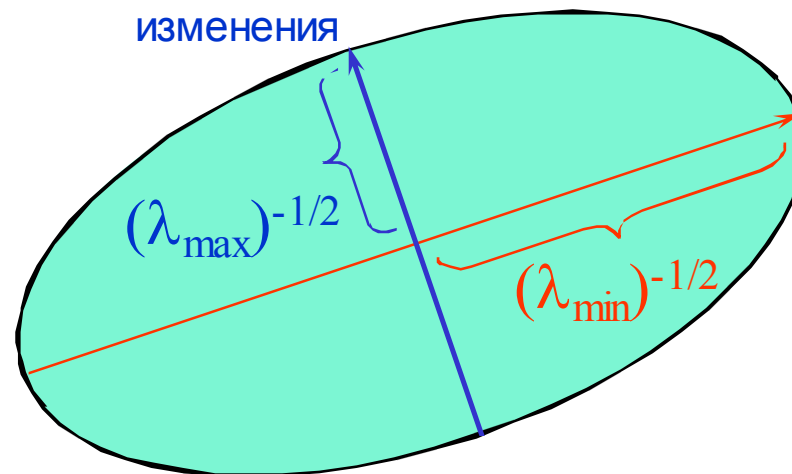
$R$  – ортогональная матрица из собственных векторов  $M$ ,  $D$  – диагональная из собственных значений  $M$

Матрицу  $M$  можно визуализировать в виде эллипса, у которого длины осей определены собственными значениями, а ориентация определена матрицей  $R$

Уравнение эллипса:

$$\begin{bmatrix} u & v \end{bmatrix} M \begin{bmatrix} u \\ v \end{bmatrix} = \text{const}$$

Направление наибоыстрого изменения



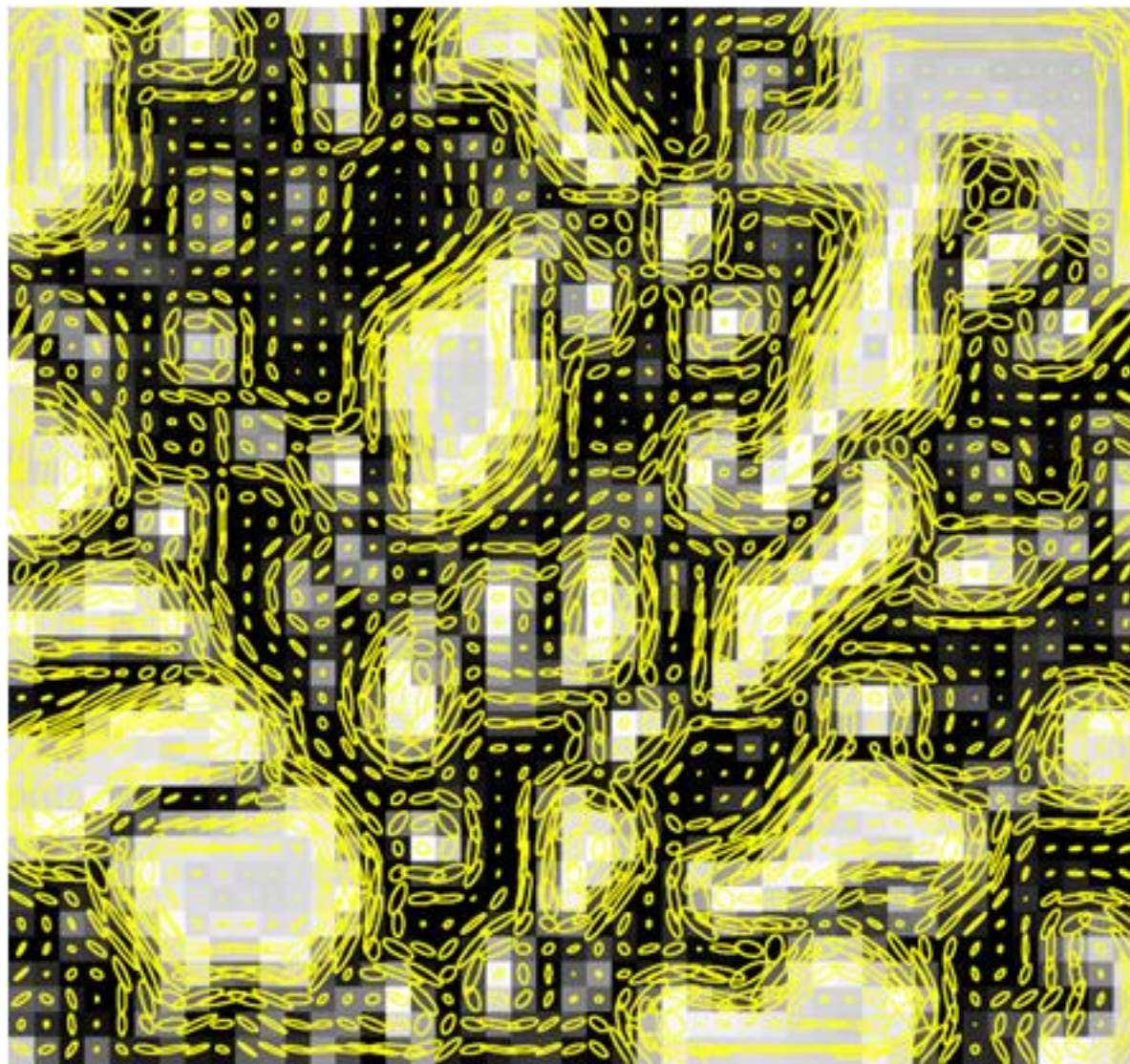
Направление наимедленного изменения





# Пример

---



Визуализация матриц вторых моментов (Гессианов)



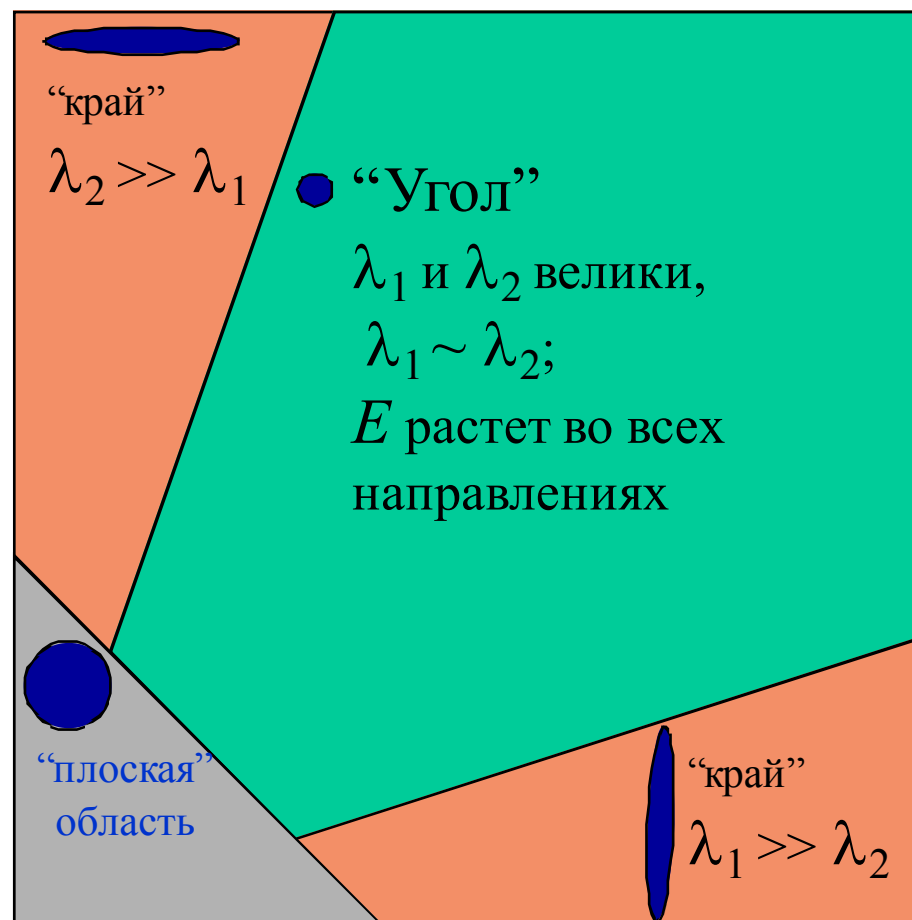
# Зависимость $E$ от $\lambda$

Классификация точек изображения по собственным значениям матрицы производных  $M$

$$E(u, v) = (u, v)M(u, v)^T$$

$$M = R^{-1} \begin{bmatrix} \lambda_1 & 0 \\ 0 & \lambda_2 \end{bmatrix} R$$

$\lambda_1$  и  $\lambda_2$  малы;  
 $E$  не меняется по  
всем направлениям

 $\lambda_2$  $\lambda_1$



# Функции отклика углов

- Функция отклика угла по Харрису:

$$R = \det M - k (\text{trace } M)^2$$

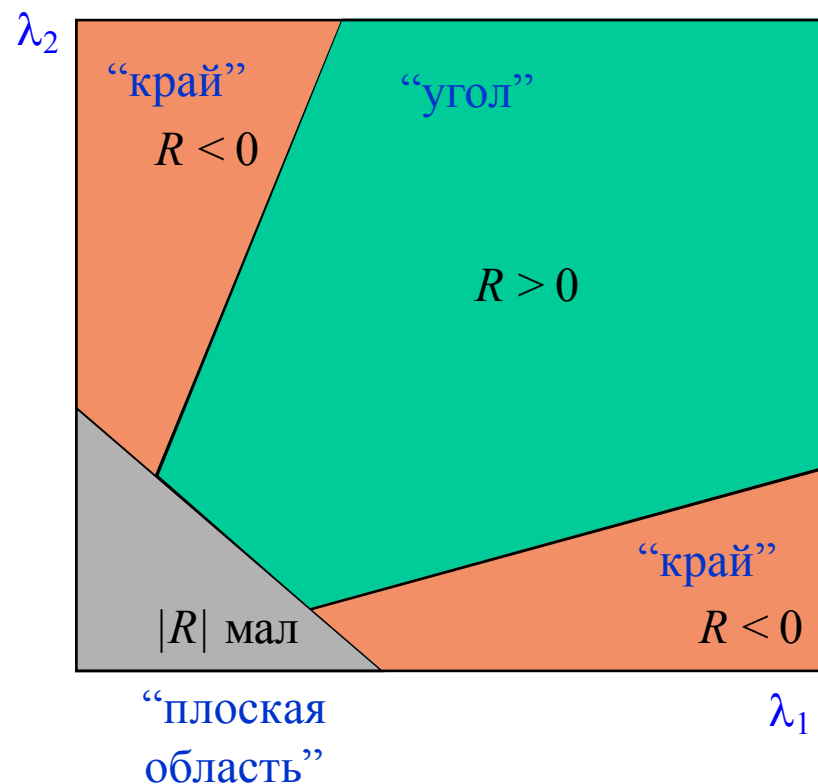
$$\det M = \lambda_1 \lambda_2$$

$$\text{trace } M = \lambda_1 + \lambda_2$$

$$(k = 0.04-0.06)$$

- Функция по Фёрстнеру (Forstner):

$$R = \det M / \text{trace } M$$





# Демонстрация по шагам

---

Яндекс

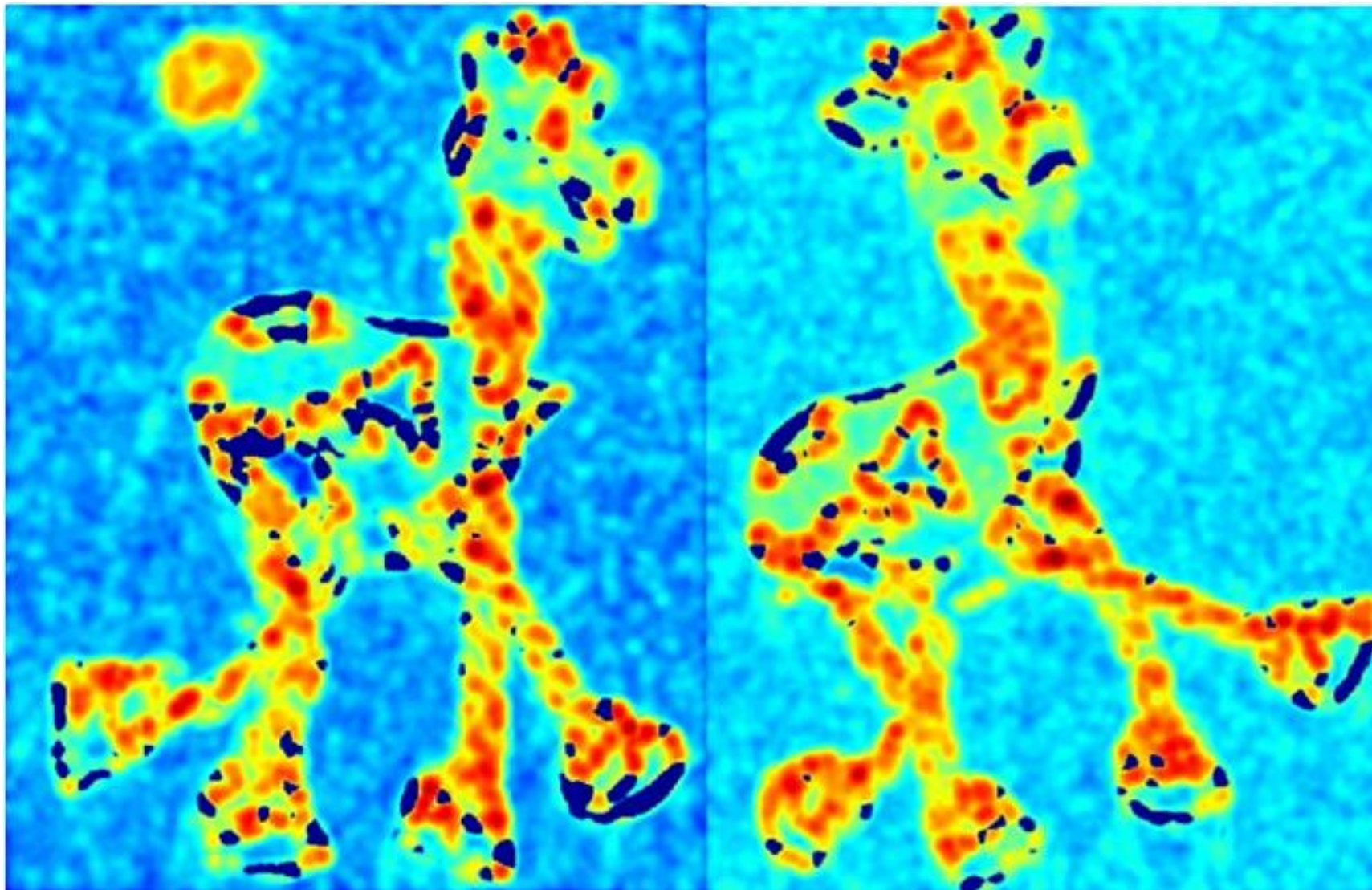






# Демонстрация по шагам

Вычисление отклика угла  $R$



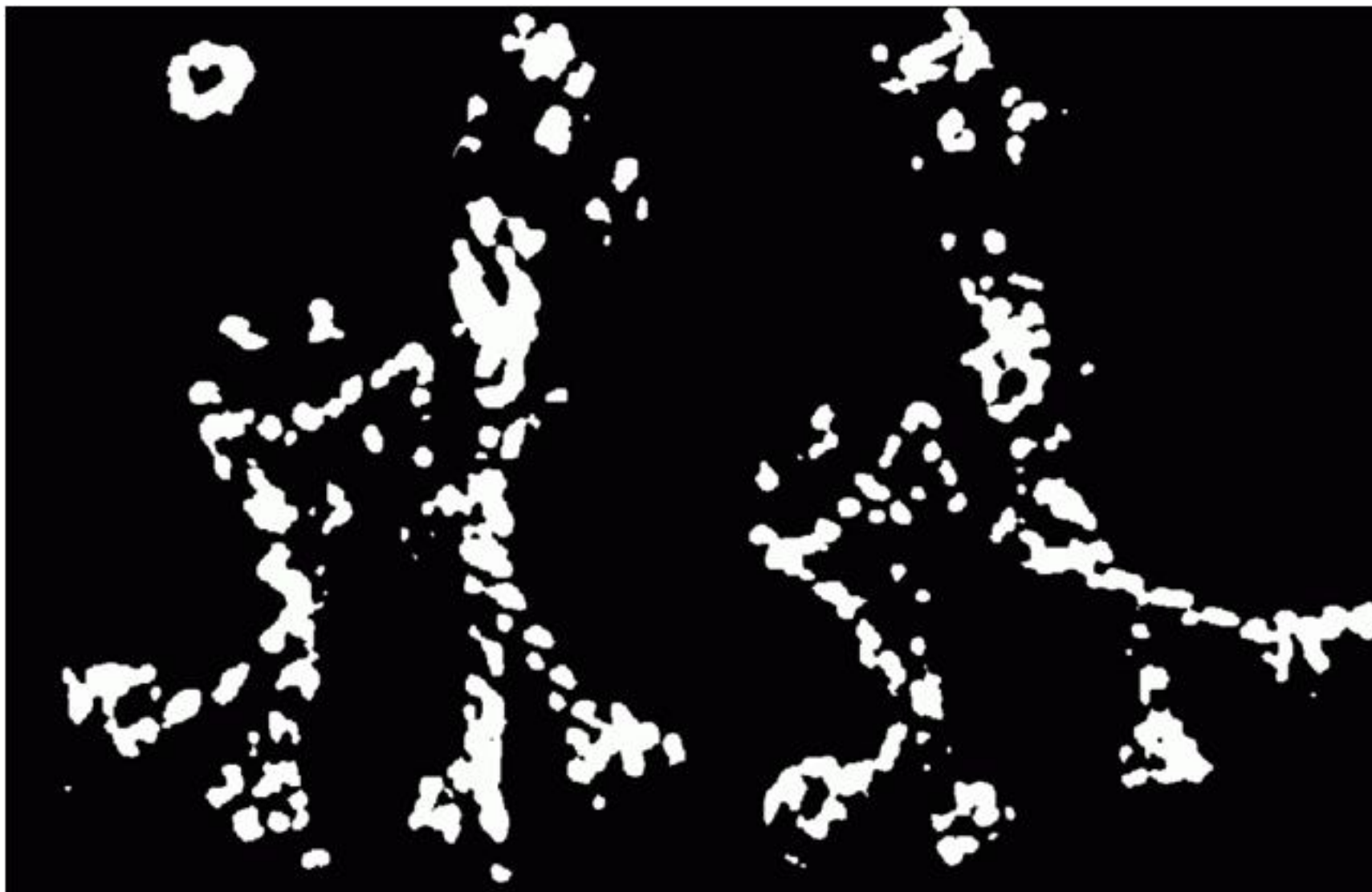




# Демонстрация по шагам

---

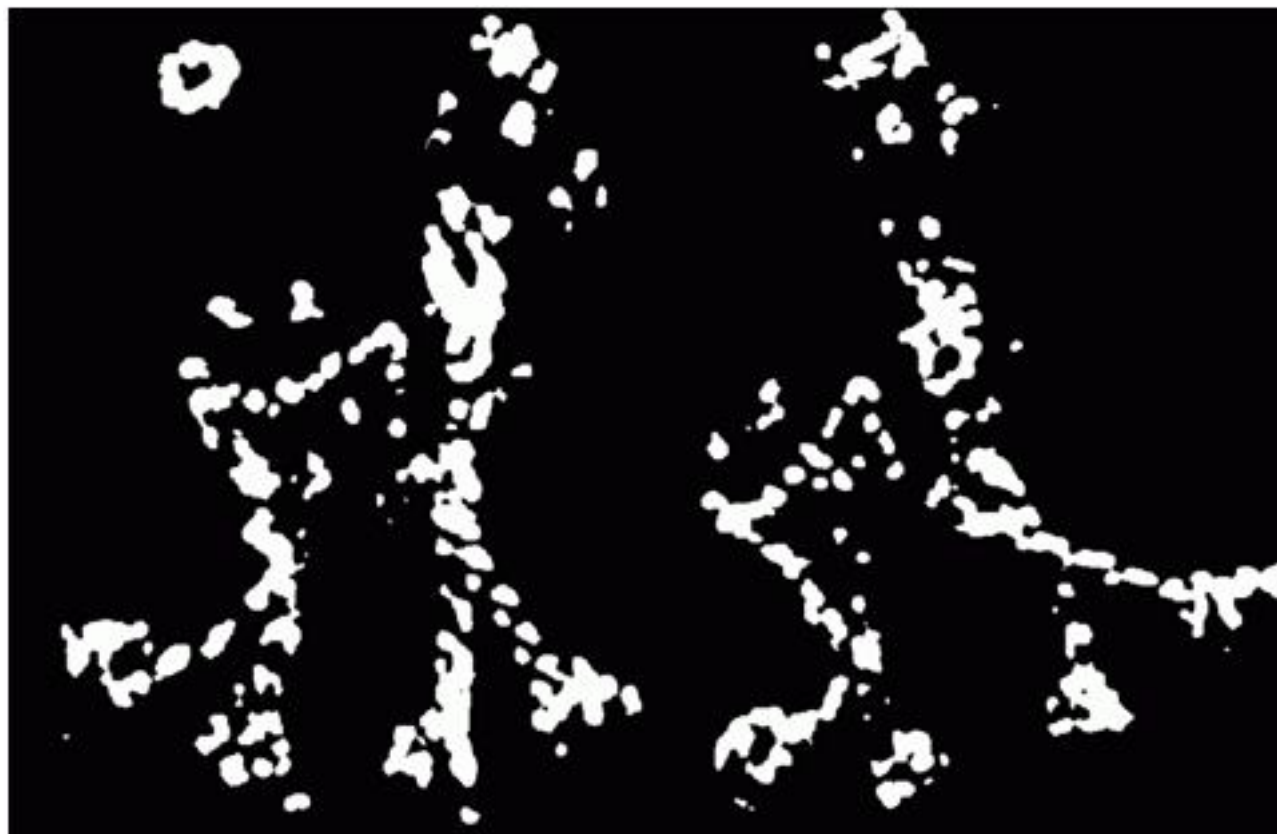
Найдём точки с большим откликом  $R > \text{порог}$





## Демонстрация по шагам

---



- Как быть с тем, что функция отклика угла больше порога в некоторых областях?
- Как нам выбрать конкретные точки в областях?



# Демонстрация по шагам

---

Оставим только точки локальных максимумов  $R$





# Демонстрация по шагам

---

Яндекс





# Алгоритм детектора Харриса

---

1. Вычислить градиент изображения в каждом пикселе
  - С использованием гауссова сглаживания
2. Вычислить матрицу вторых моментов  $M$  по окну вокруг каждого пикселя
3. Вычислить отклик угла  $R$
4. Отсечение по порогу  $R$
5. Найти локальные максимумы функции отклика (non-maximum suppression) по окрестности заданного радиуса
6. Выбор  $N$  самых сильных локальных максимумов

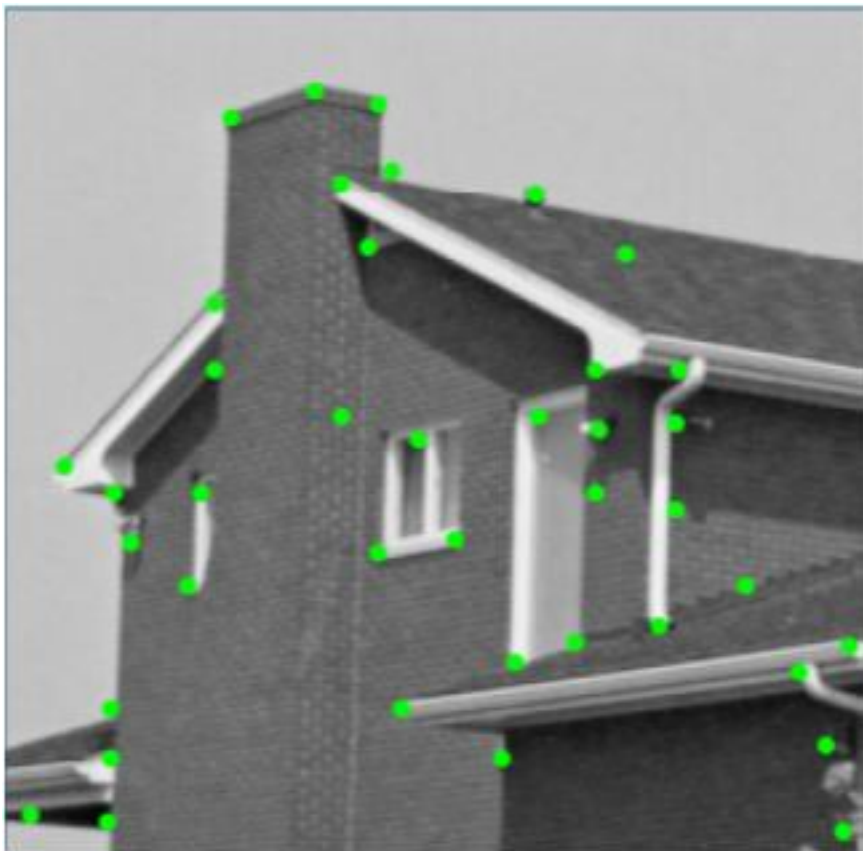




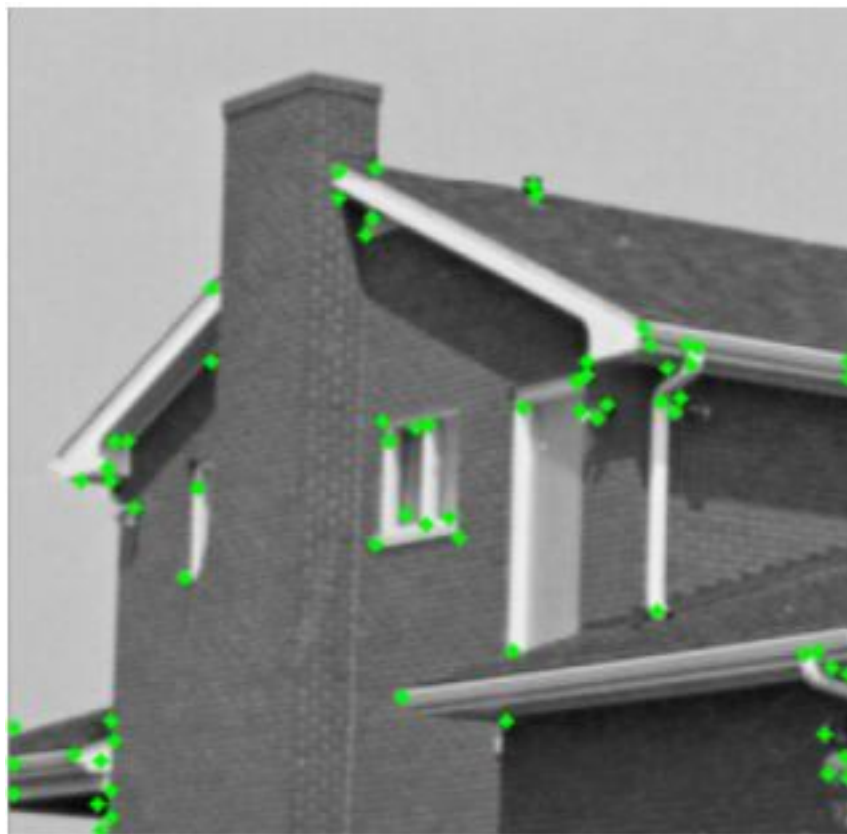
# Результат работы детектора

---

Яндекс



детектор Фёрстнера

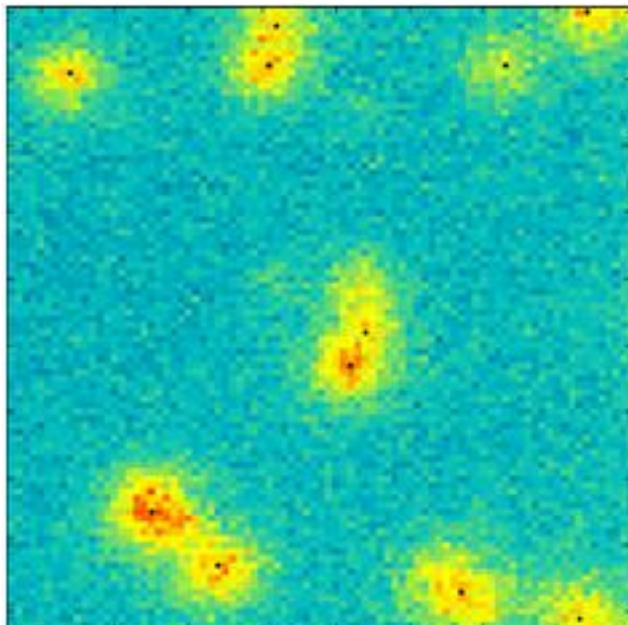


детектор Харриса



## Важный вывод

---



Детектор – суть некоторая функция, локальные максимумы которой мы используем в качестве особенностей изображений

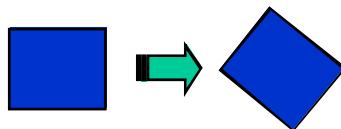


# Инвариантность

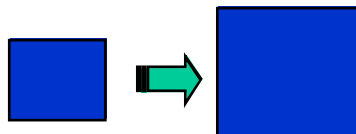
---

Что у детектора Харриса с инвариантностью?

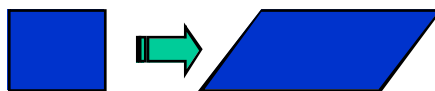
- Поворот



- Масштаб



- Аффинное



- Аффинное изменение яркости ( $I \rightarrow a I + b$ )



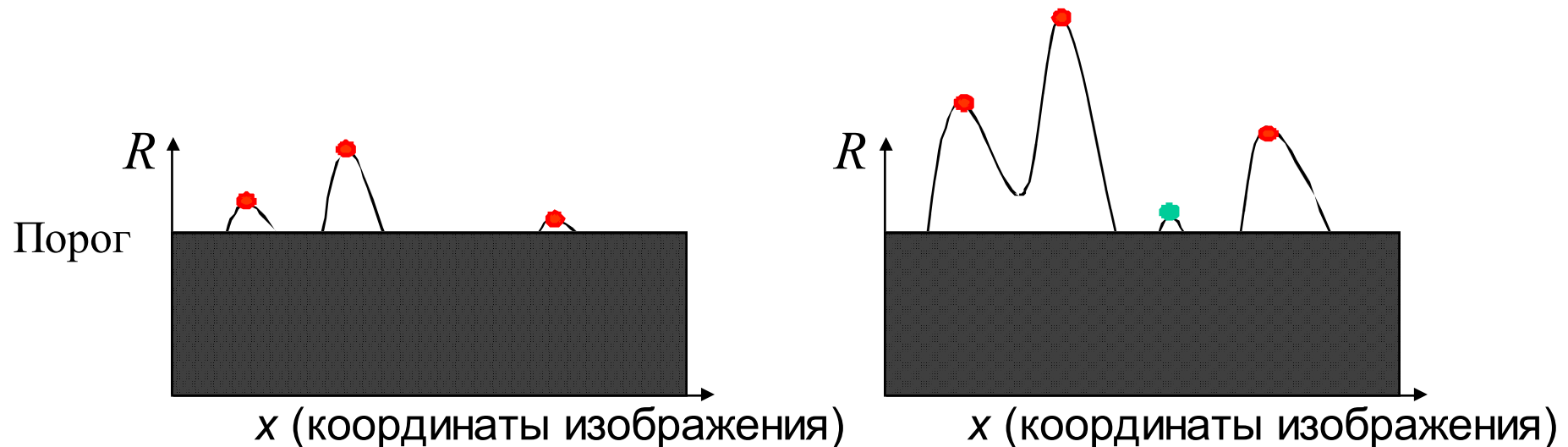


# Детекторы Харриса

## ■ Частичная инвариантность к изменению освещенности

✓ Используются только производные  
=> инвариантность к сдвигу  $I \rightarrow I + b$

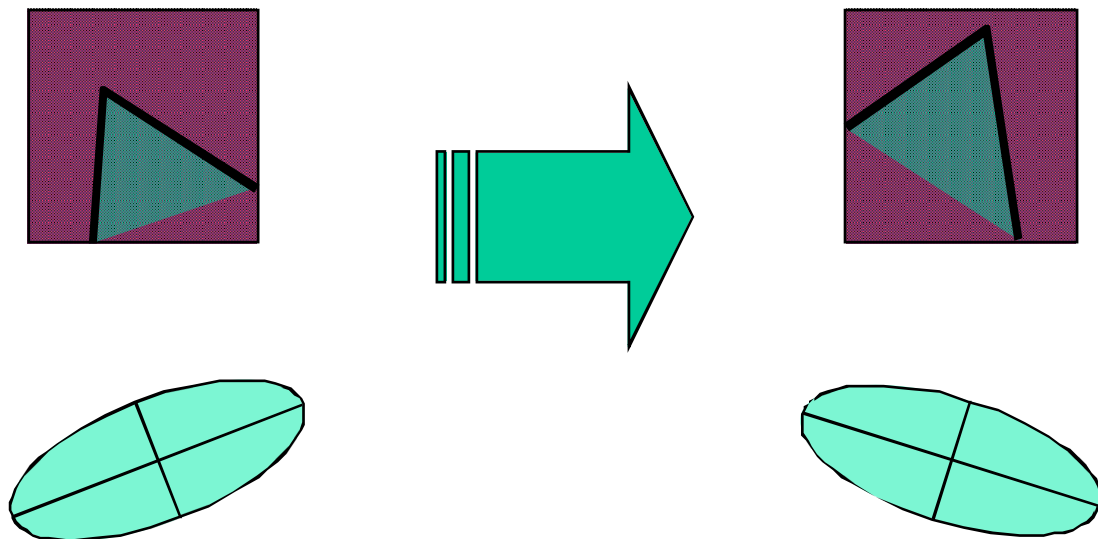
✓ Масштабирование:  $I \rightarrow a I$





# Детектор Харриса

Инвариантность к вращению изображения:



$$M = R^{-1} \begin{bmatrix} \lambda_1 & 0 \\ 0 & \lambda_2 \end{bmatrix} R$$

Эллипс вращается, но его форма (собственные значения) остаются неизменными

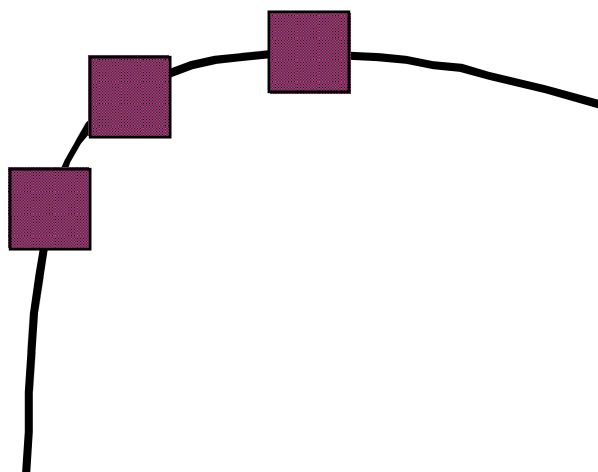
*Отклик угла  $R$  инвариантен относительно вращению изображения*



# Масштабирование?

---

- Угол или нет? - Зависит от масштаба изображения!



Все эти точки будут  
помечены как **края**



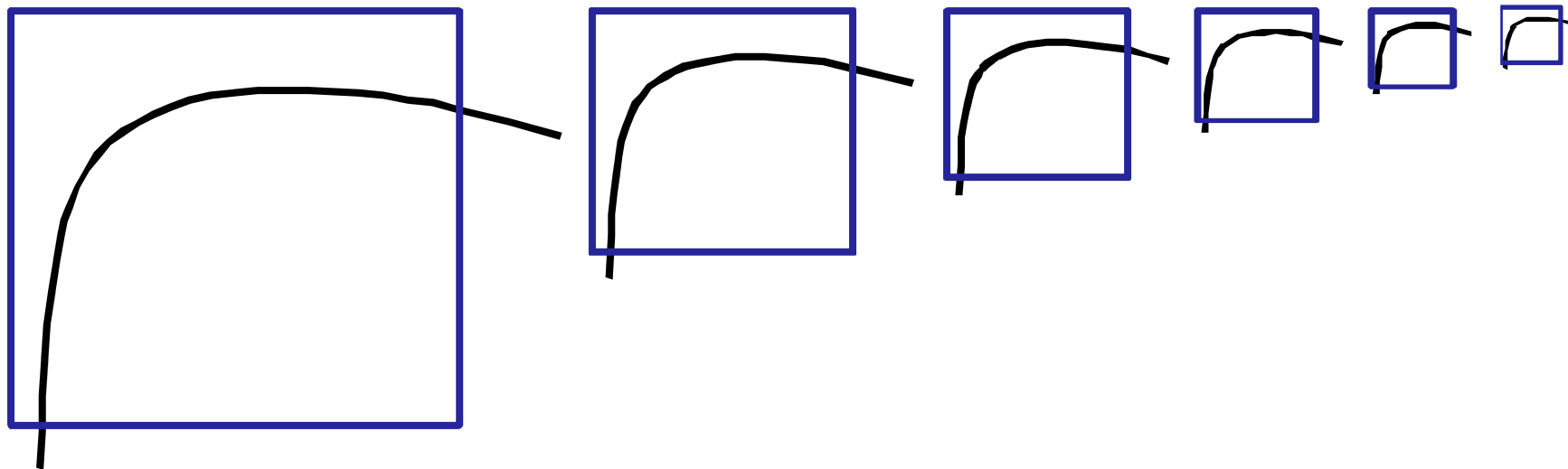
**Угол !**





# Характерный масштаб

---

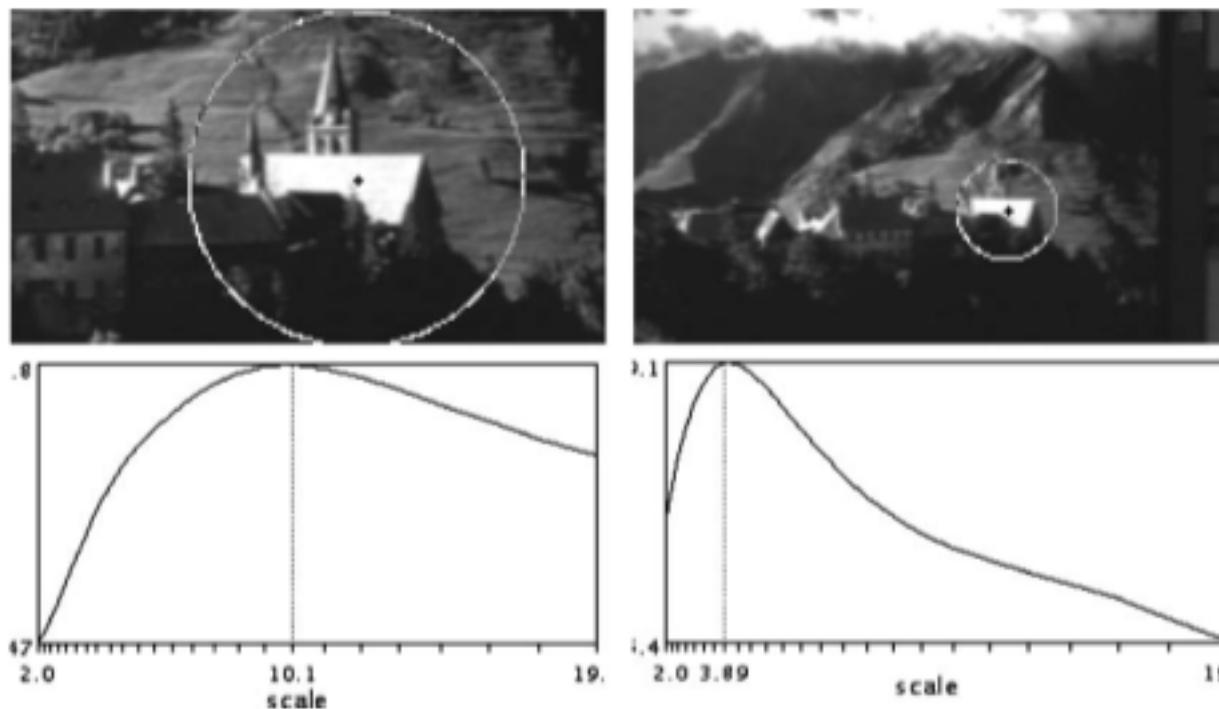


- С какого момента фрагмент считается «углом»?
- Если наш детектор Харриса на нескольких соседних масштабах пометит точку как угол, то как нам быть?



# Инвариантность к масштабированию

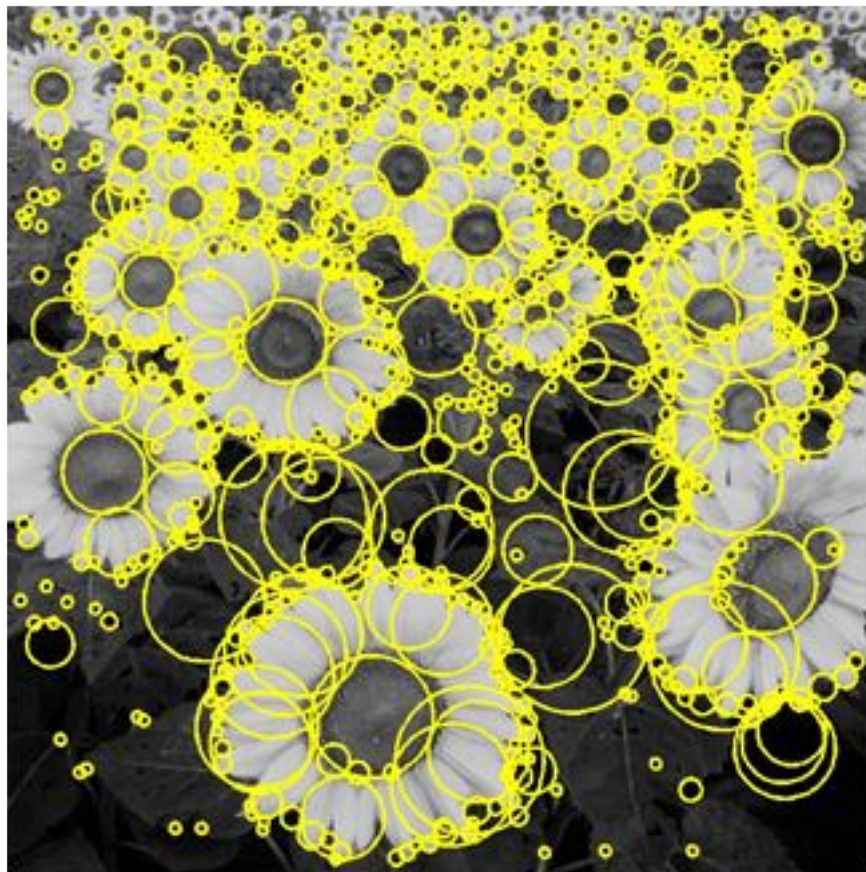
- Цель: определять размер окрестности особой точки в масштабированных версиях одного и того же изображения
- Требуется метод выбора размера характеристической окрестности





# Блобы

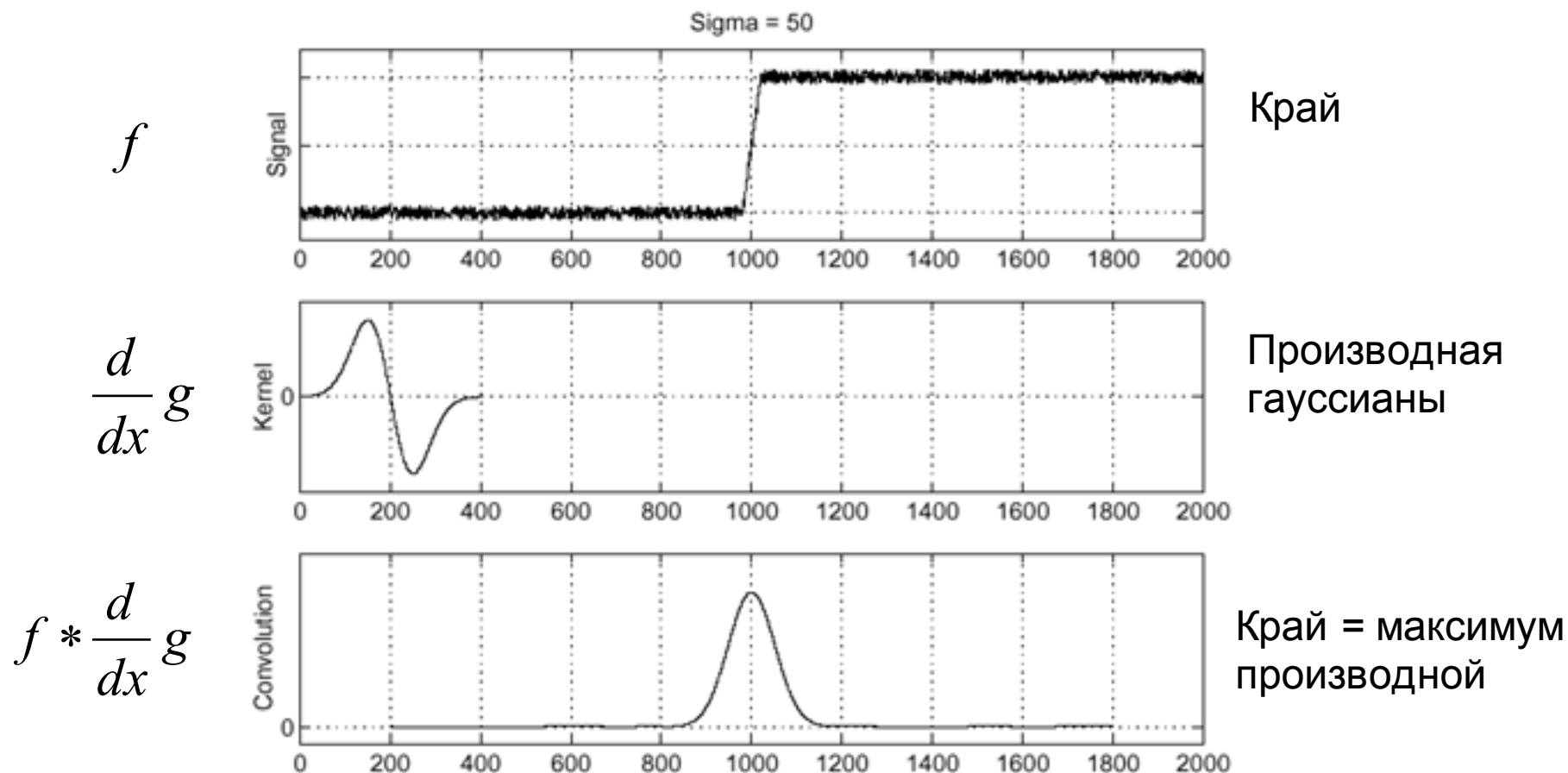
---



«Пятна», «Капля», «Vlob» - вначале для особенностей такого типа была разработана теория выбора характерного размера



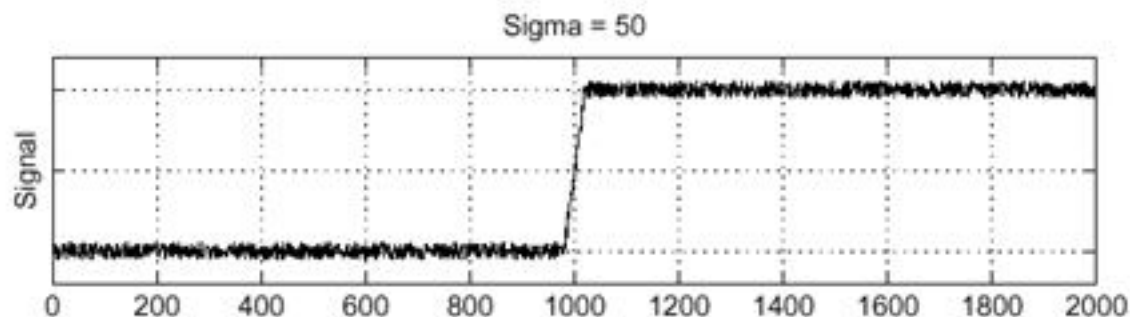
# Поиск краев





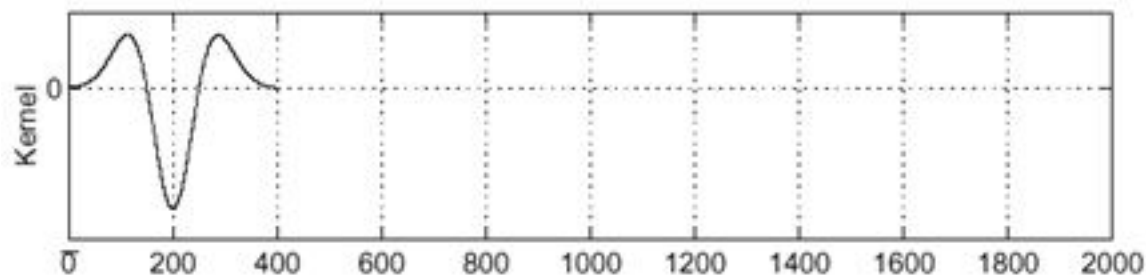
## Второй проход

$f$



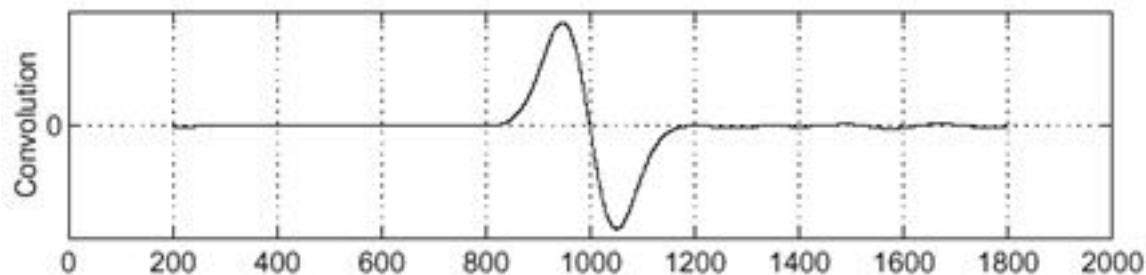
Край

$\frac{d^2}{dx^2} g$



Вторая  
производная  
Гауссианы  
(Лапласиан)

$f * \frac{d^2}{dx^2} g$

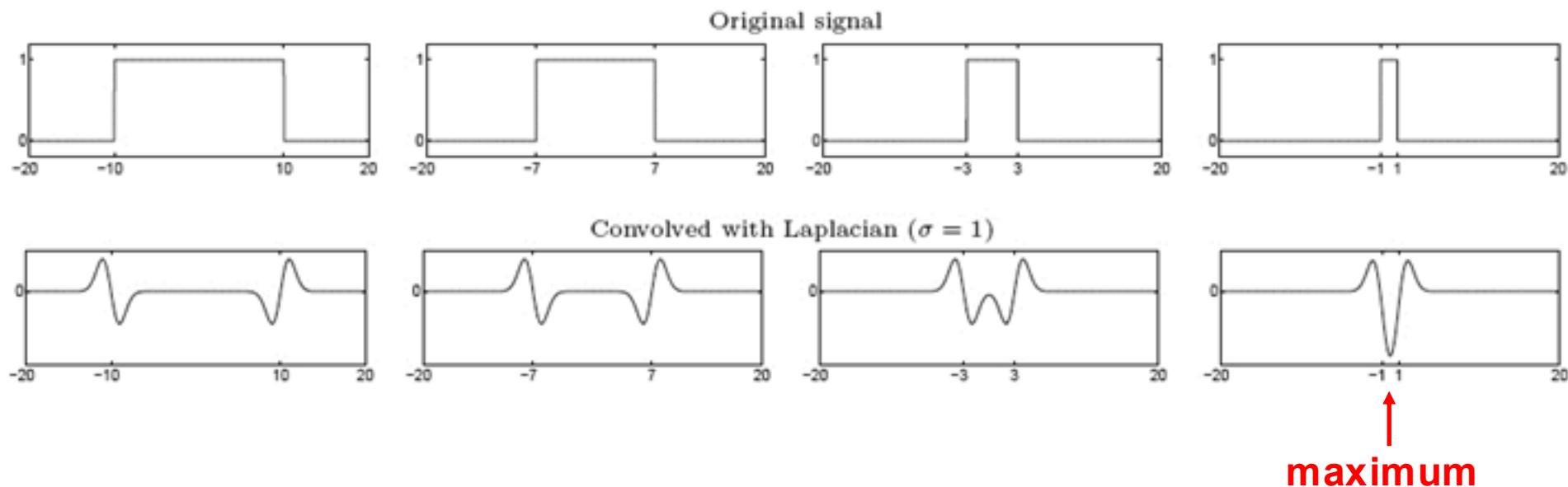


Край = переход  
через ноль второй  
производной



# От поиска краев к поиску блобов

- Край = «всплеск»
- Блоб = совмещение двух «всплесков»



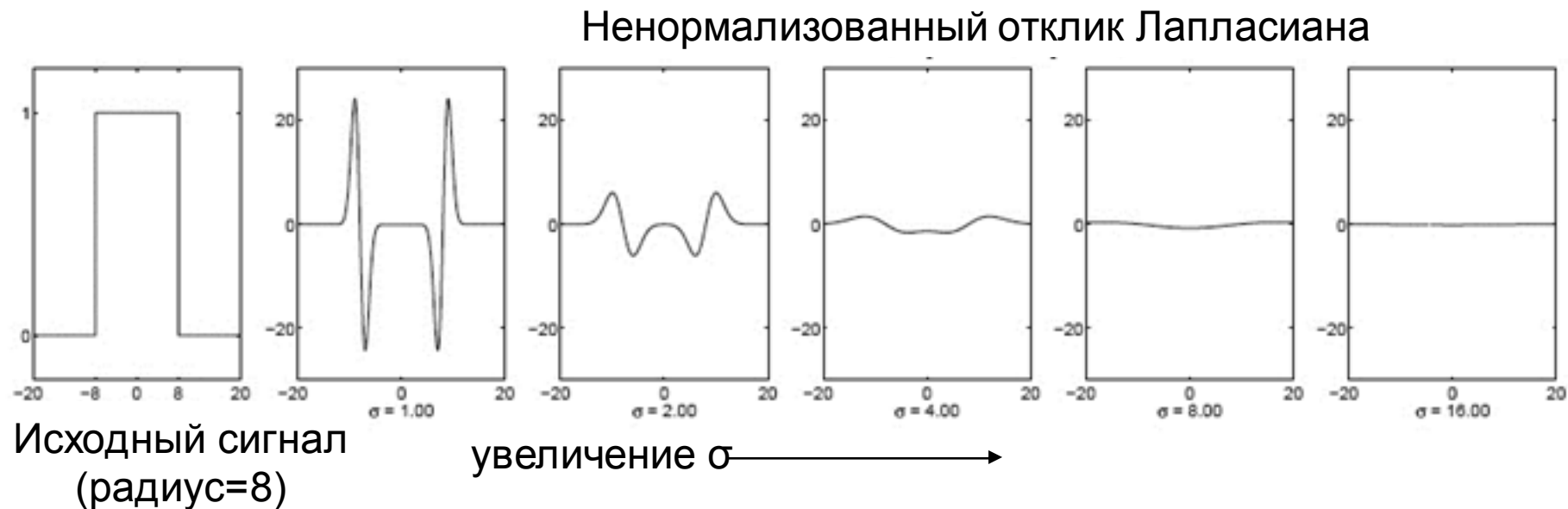
**Выбор масштаба:** величина отклика лапласиана Гауссиана достигает максимума в центре блоба в том случае, если размер лапласиана «соответствует» размеру блоба





# Выбор масштаба

- Нужно найти характеристический размер блока путем свертки с Лапласианом в нескольких масштабах и найти максимальные отклики
- Однако, отклик Лапласиана затухает при увеличении масштаба:

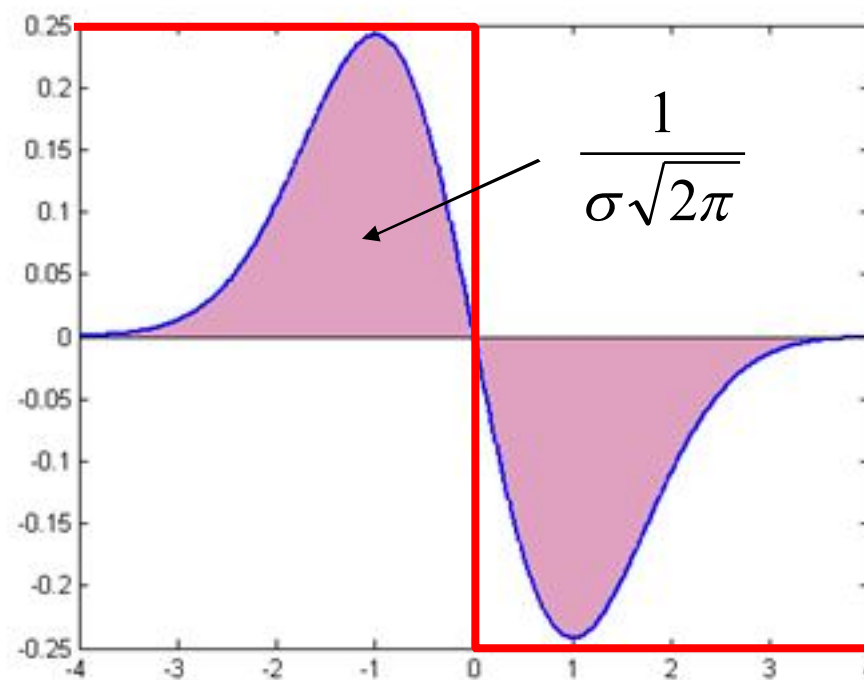


Почему так происходит?



# Нормализация масштаба

- Отклик производной фильтра Гаусса на идеальный край затухает с увеличением масштаба  $\sigma$





# Нормализация масштаба

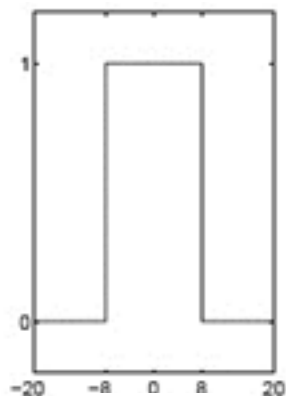
---

- Отклик производной фильтра Гаусса на идеальный край затухает при увеличении  $\sigma$
- Нужно домножить производную на  $\sigma$  для достижения инвариантности к масштабу
- Лапласиан это вторая производная фильтра гаусса, поэтому домножаем на  $\sigma^2$

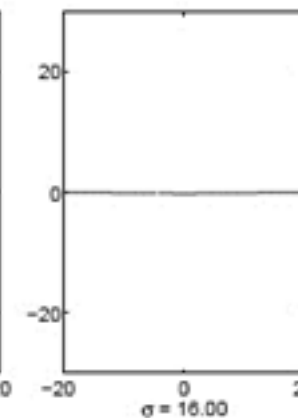
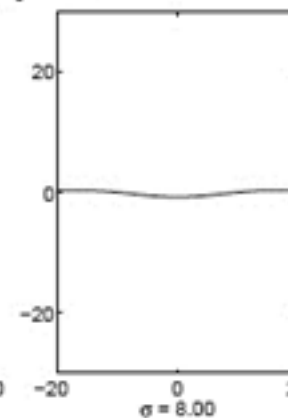
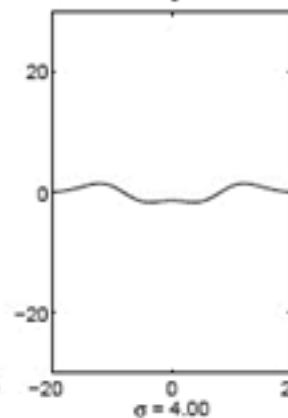
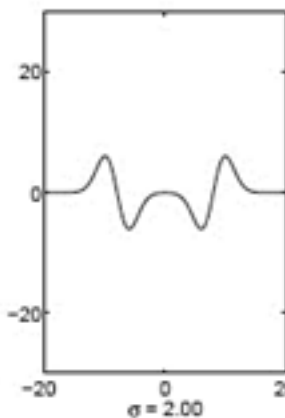
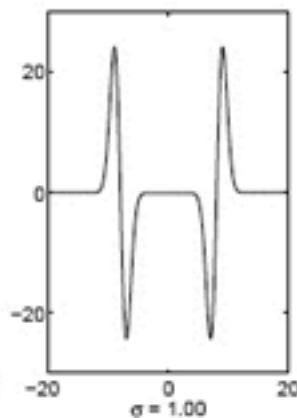


# Эффект нормализации

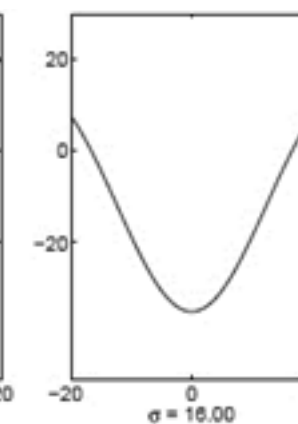
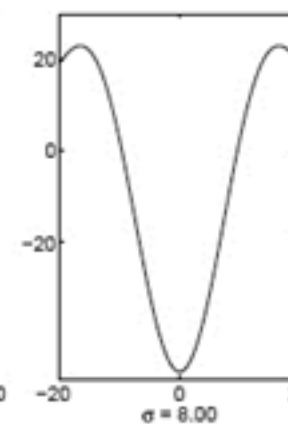
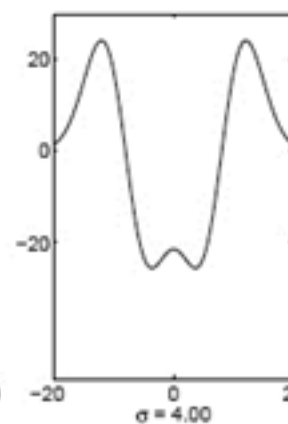
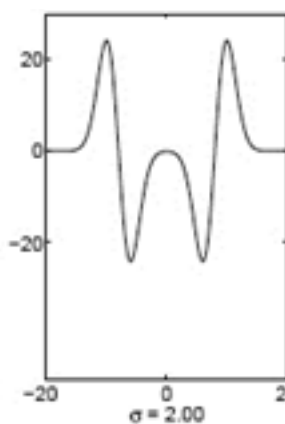
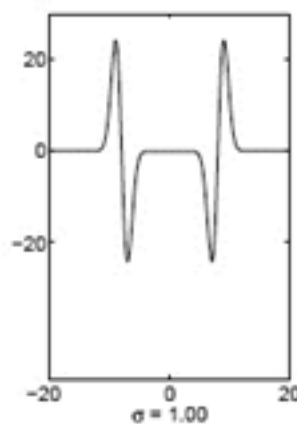
Исходный сигнал



Ненормализованный отклик Лапласиана



Нормализованный по масштабу отклик Лапласиана

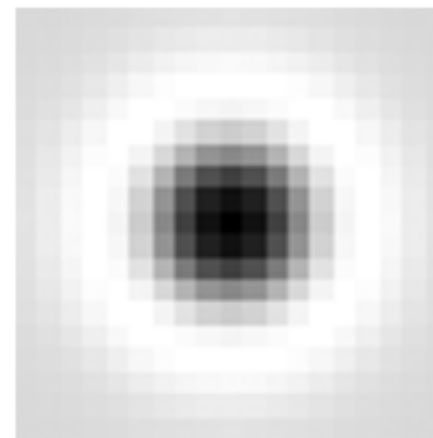
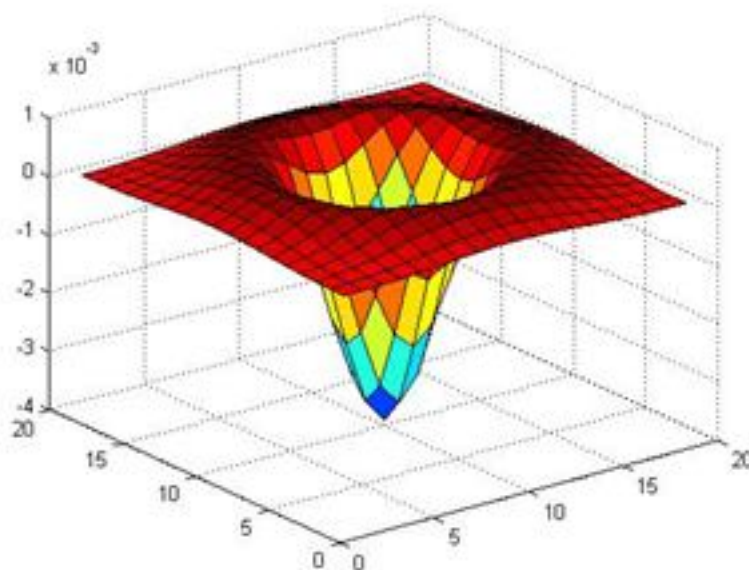


↑  
**максимум**



# Поиск блобов в 2D

Лапласиан Гауссиана: Центральнo-симметричный оператор поиска блобов в 2D

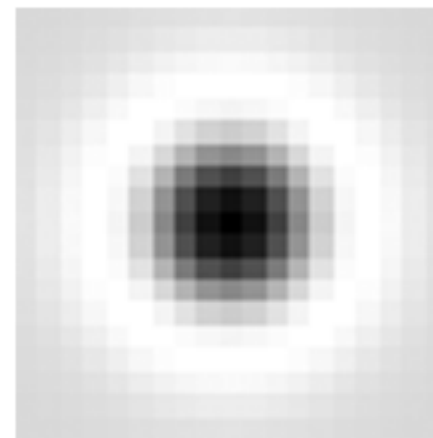
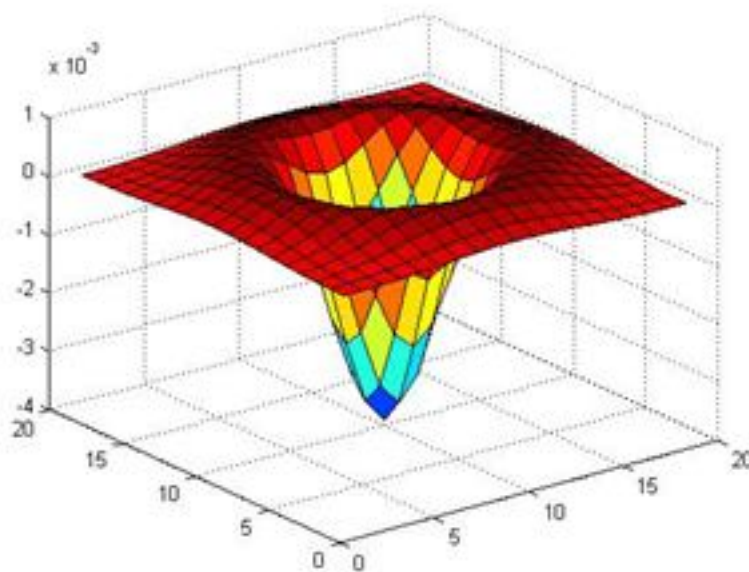


$$\nabla^2 g = \frac{\partial^2 g}{\partial x^2} + \frac{\partial^2 g}{\partial y^2}$$



# Поиск блоков в 2D

Лапласиан Гауссиана: Центральнo-симметричный оператор поиска блоков в 2D



Нормализация:

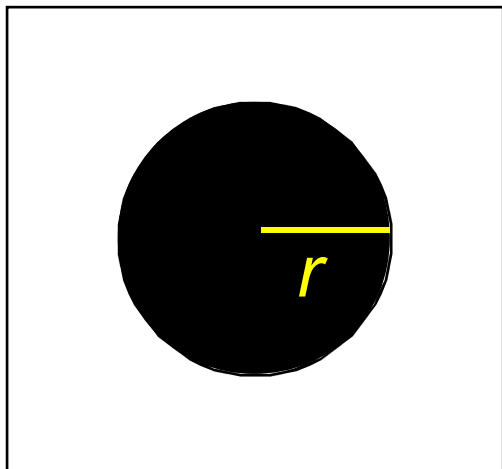
$$\nabla_{\text{norm}}^2 g = \sigma^2 \left( \frac{\partial^2 g}{\partial x^2} + \frac{\partial^2 g}{\partial y^2} \right)$$



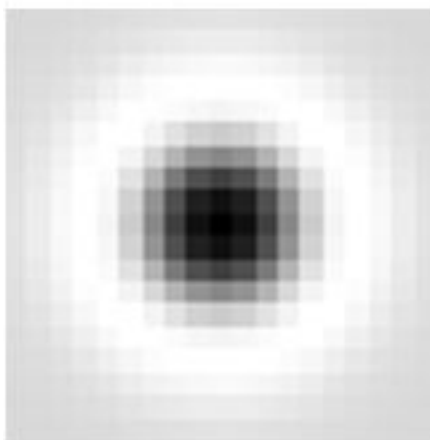


# Выбор масштаба

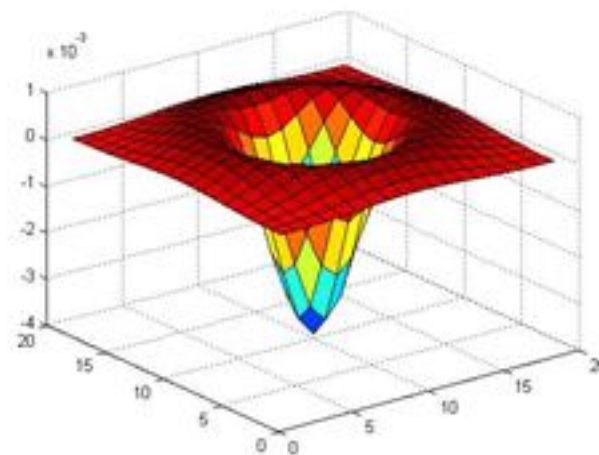
- На каком масштабе Лапласиан достигает максимума отклика на бинарный круг радиуса  $r$ ?



изображение



Лапласиан



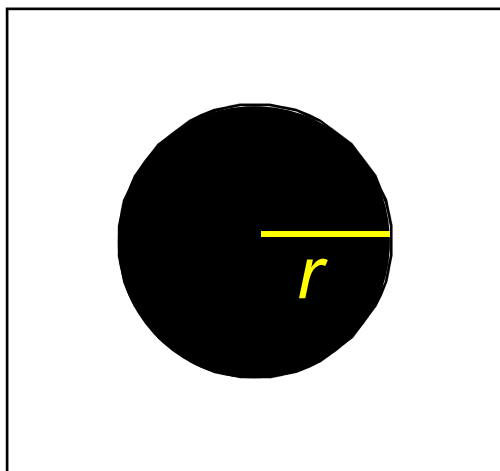


# Выбор масштаба

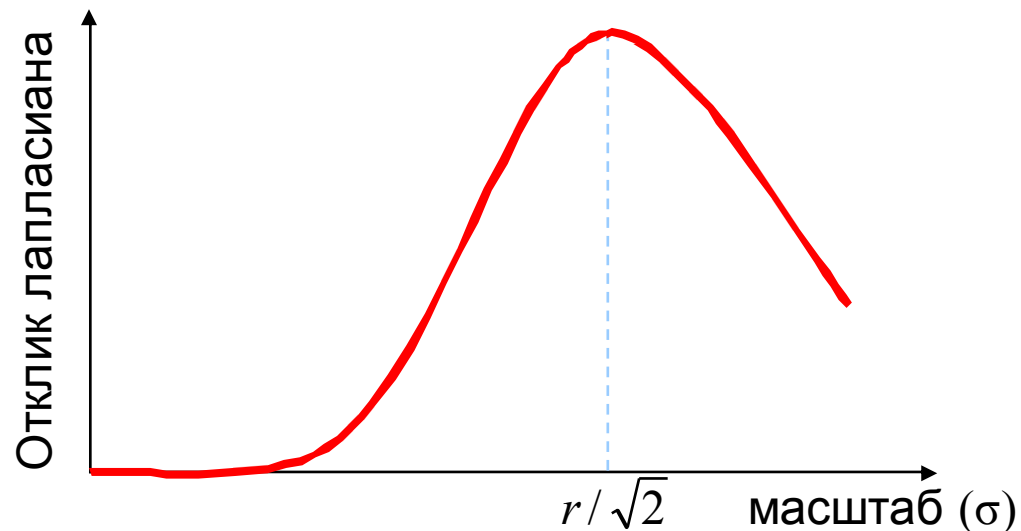
- 2D Лапласиан задается формулой:

$$(x^2 + y^2 - 2\sigma^2) e^{-(x^2 + y^2)/2\sigma^2} \quad (\text{с точностью до масштаба})$$

- Для бинарного круга радиуса  $r$ , Лапласиан достигает максимума в  $\sigma = r / \sqrt{2}$



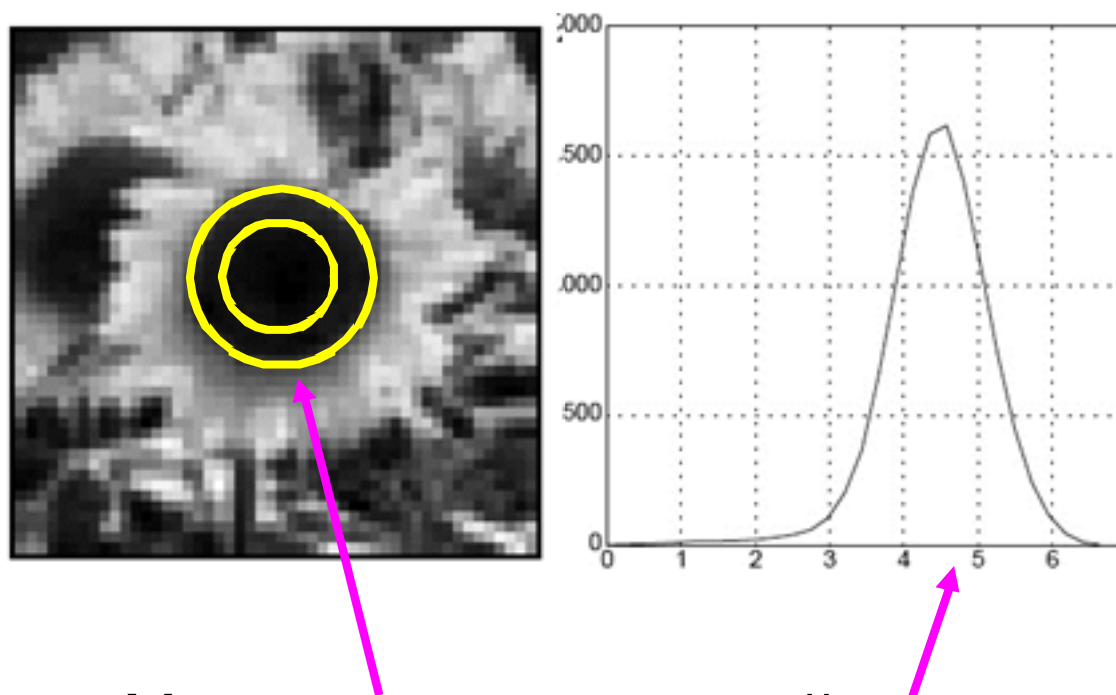
изображение





# Характеристический размер

- Характеристический размер определяется как масштаб, на котором достигается максимум отклика Лапласиана

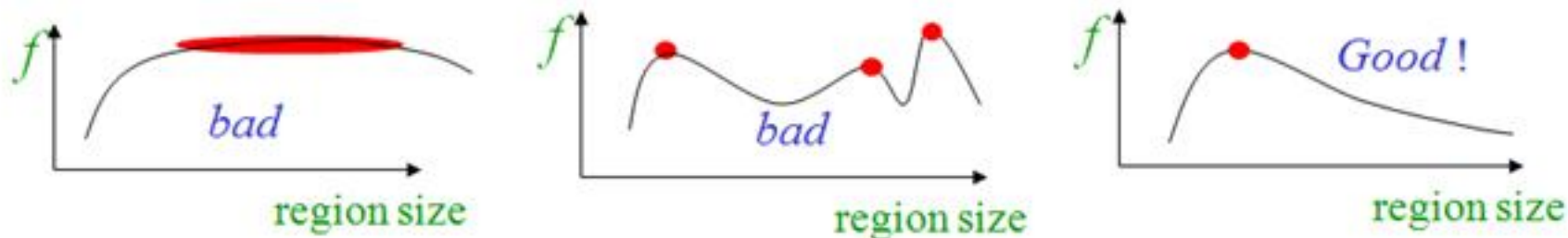


Характеристический масштаб

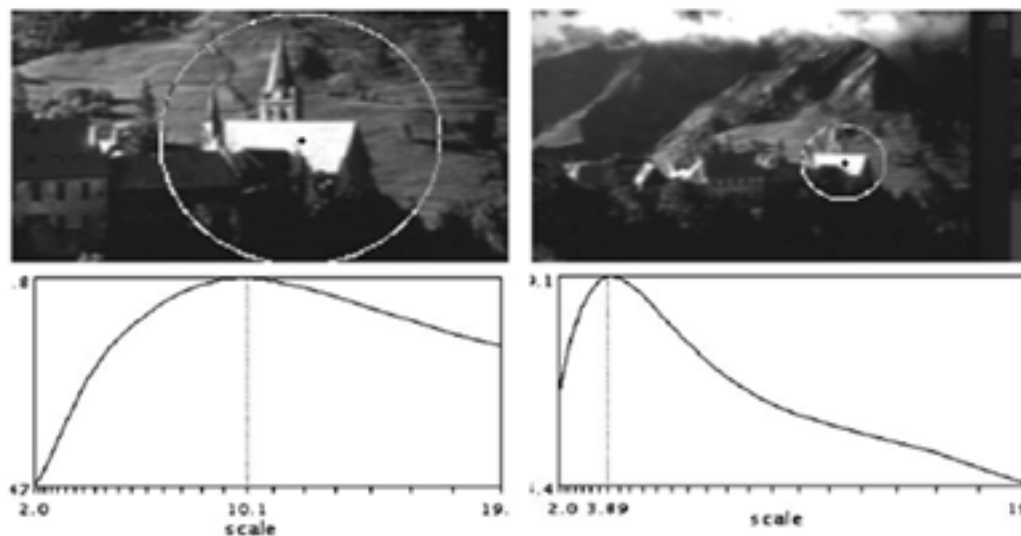
T. Lindeberg (1998). ["Feature detection with automatic scale selection."](#)  
*International Journal of Computer Vision* **30** (2): pp 77--116.



# Характеристический размер



У «хорошего блоба»— один ярко выраженный пик функции

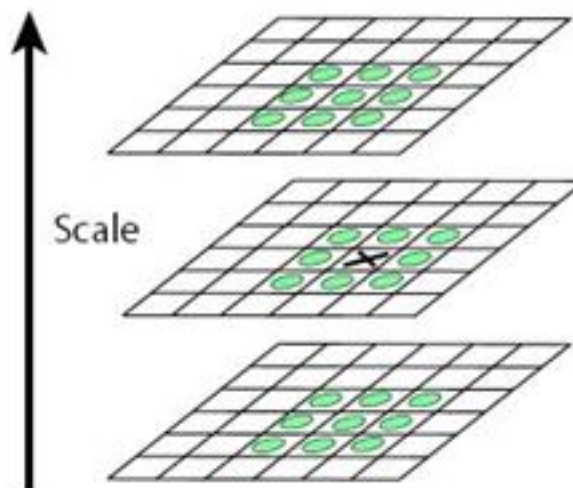




# Многомасштабный детектор блоков

---

1. Свертываем изображение нормализованным фильтром Лапласиана на разных масштабах
2. Ищем максимум отклика Лапласиана в 3D





# Пример

---







# Пример

---

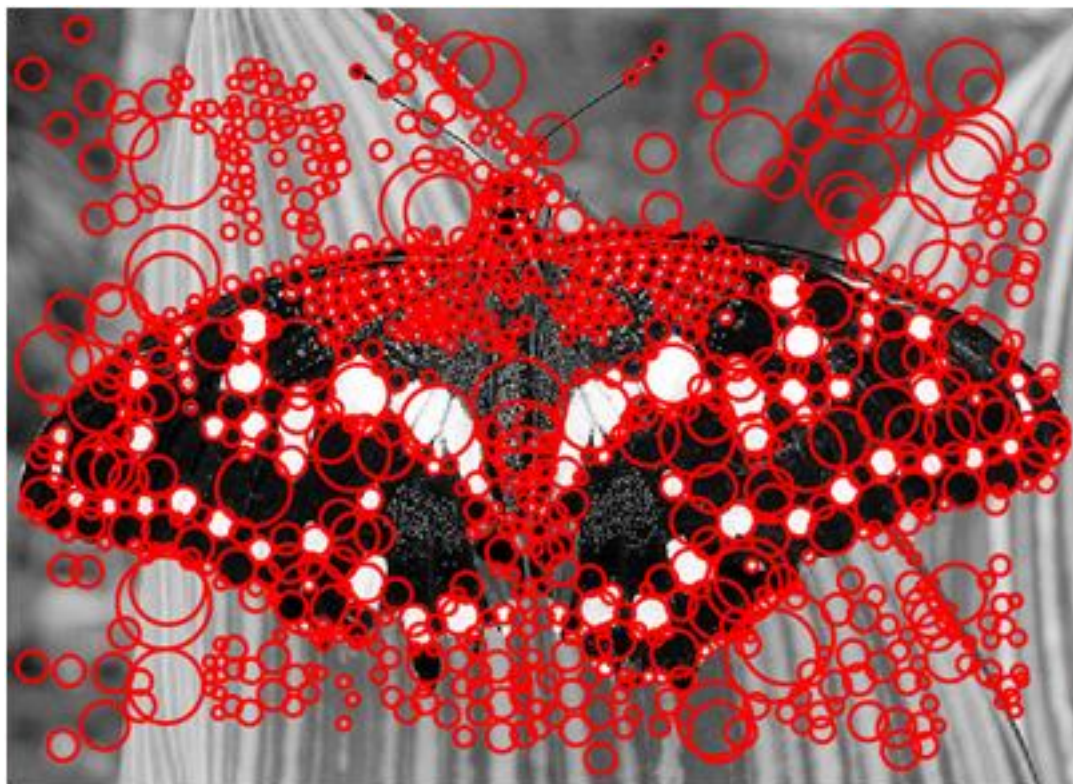


$\sigma = 11.9912$



# Пример

---





# Эффективная реализация (DoG)

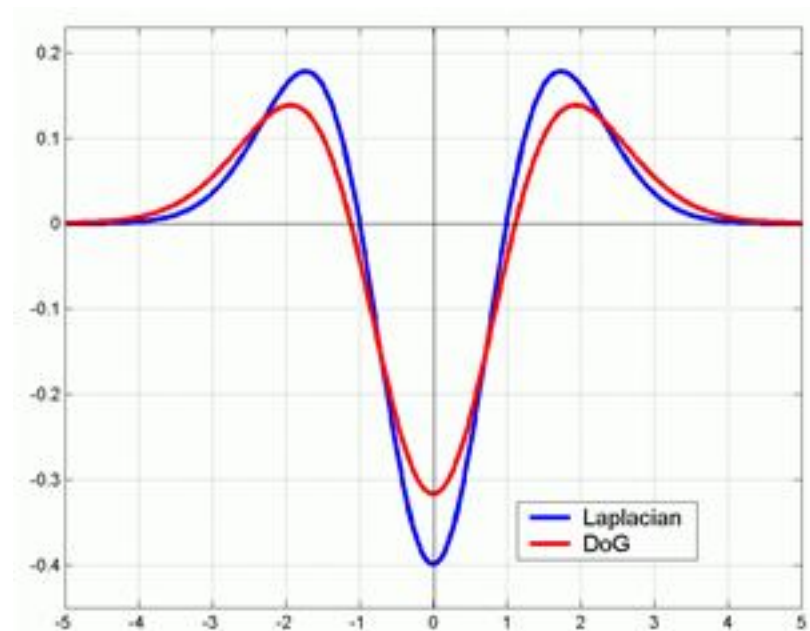
Приближение Лапласиана с помощью разницы гауссиан:

$$L = \sigma^2 \left( G_{xx}(x, y, \sigma) + G_{yy}(x, y, \sigma) \right)$$

(Лапласиан)

$$DoG = G(x, y, k\sigma) - G(x, y, \sigma)$$

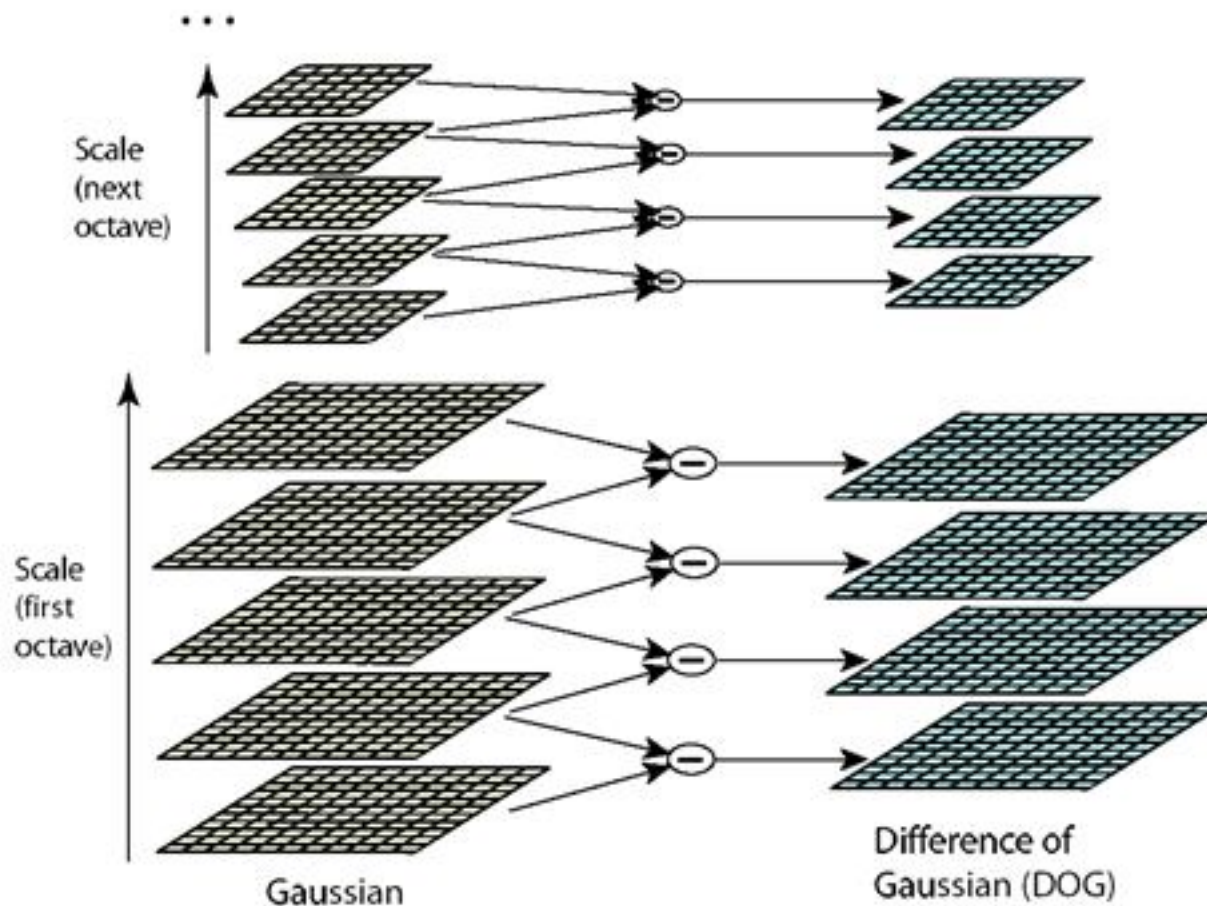
(Разница Гауссиан)



Difference of Gaussian = DoG



# Эффективная реализация (DoG)



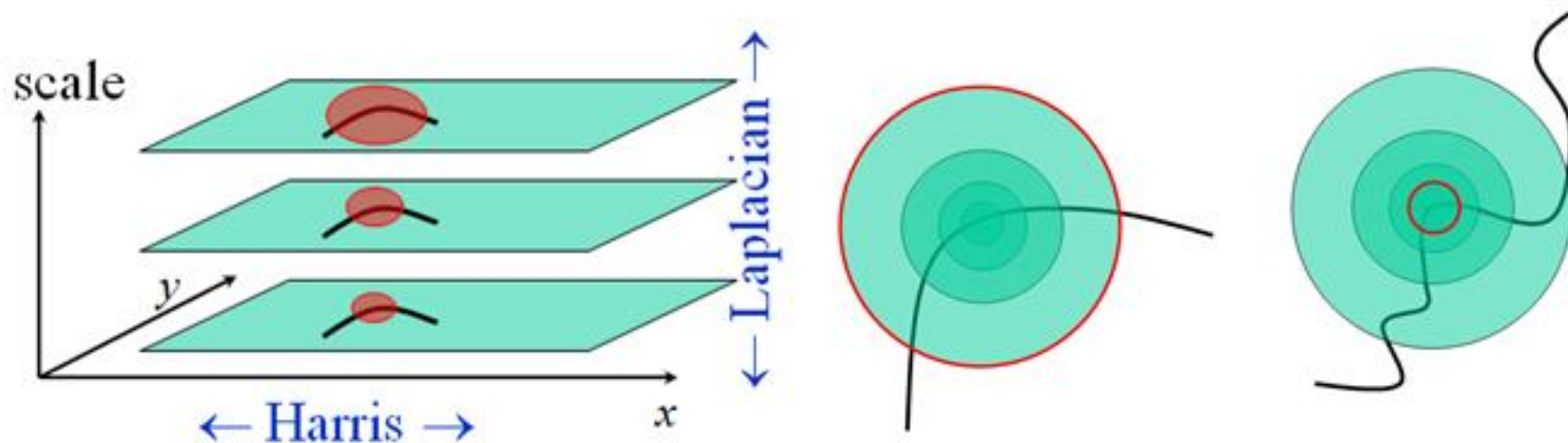
Детектор DoG также выделяет «блобы» на изображении

David G. Lowe. ["Distinctive image features from scale-invariant keypoints."](#)  
*IJCV* 60 (2), pp. 91-110, 2004.



# Детектор Harris-Laplacian

- Выделяем углы на изображении, но с характеристическим размером
- Максимизация:
  - По изображению – откликов углов Харриса
  - По масштабу – Лапласиана
- Разные варианты чередования вычисления функции Харриса и Лапласиана



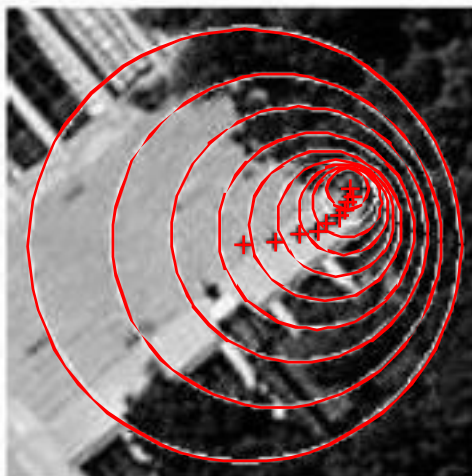
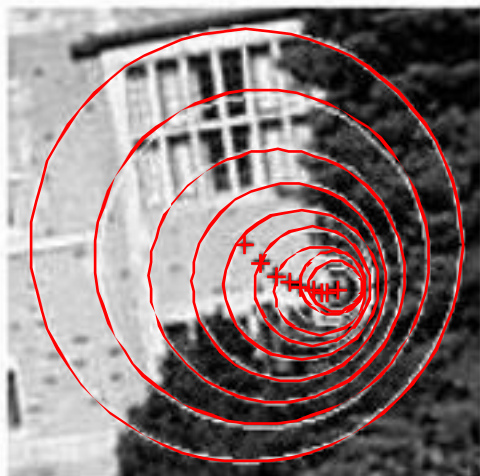




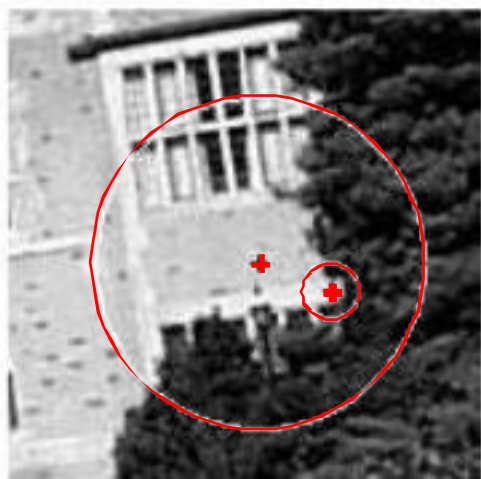
# Сравнение

---

Сравнение простого детектора Харриса и Харрис-Лапласиана



Харрис

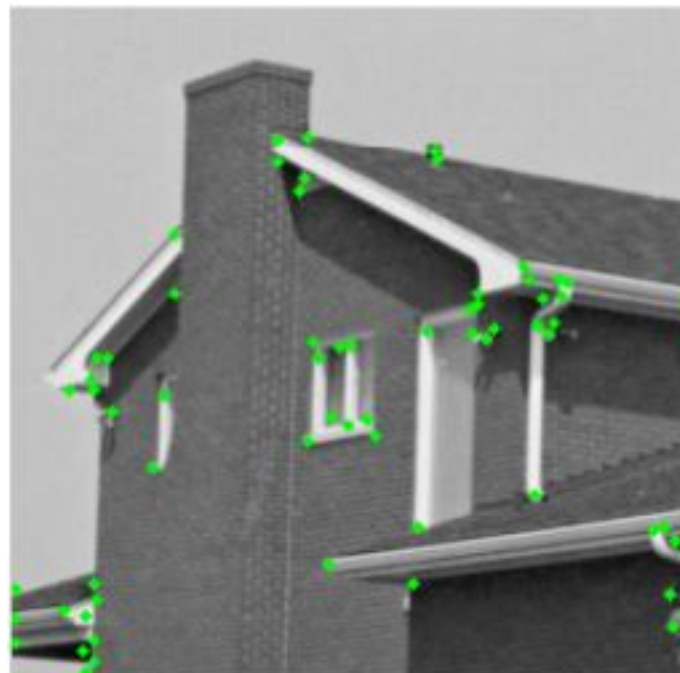
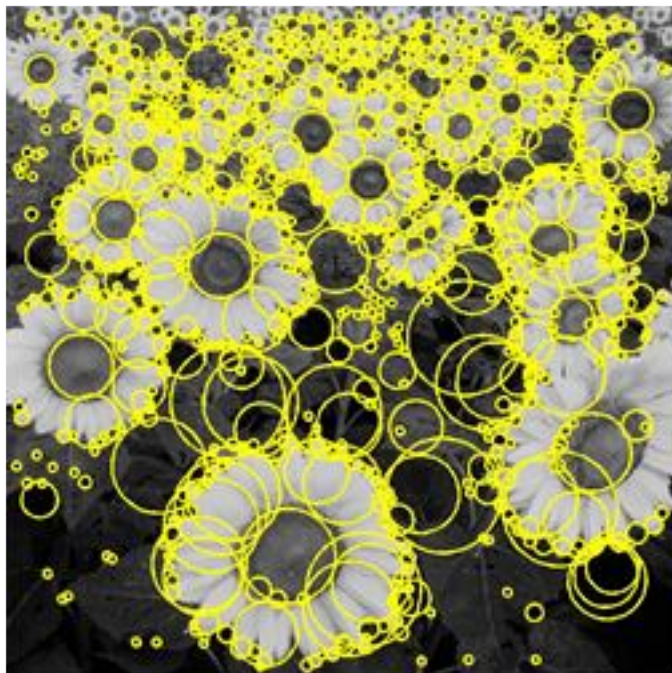


Харрис-Лаплас





# Углы и блобы



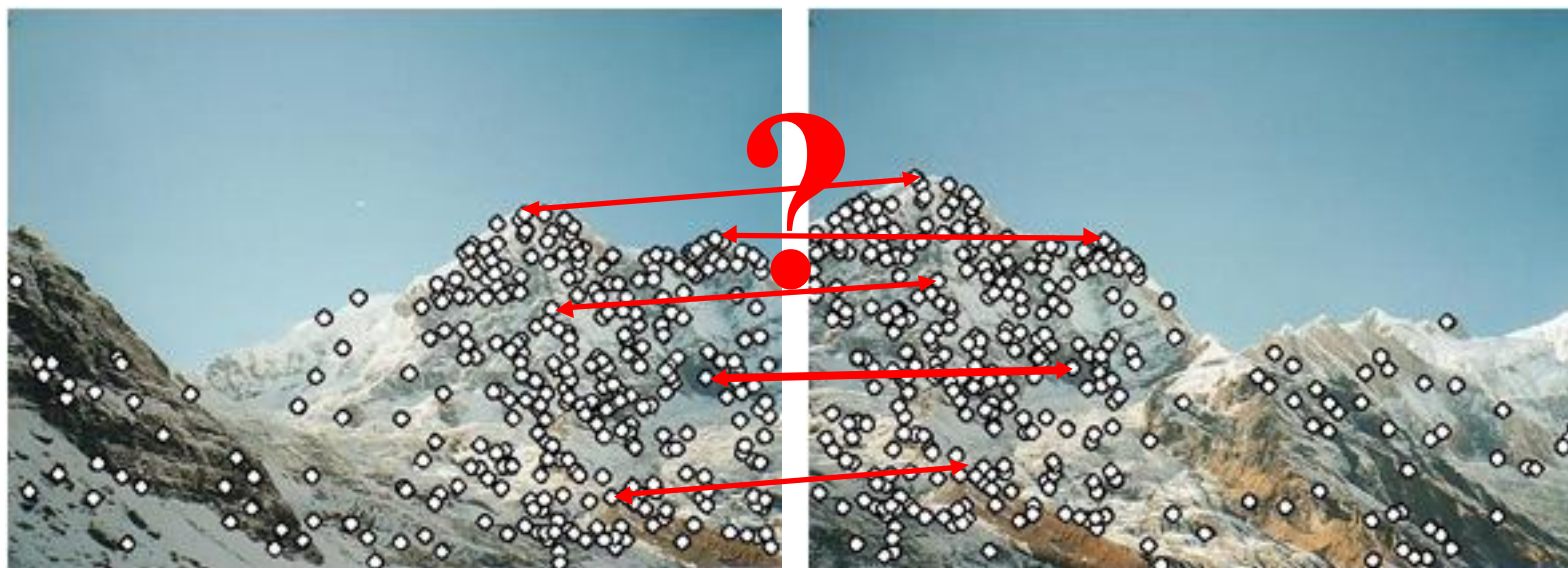
- Углы и блобы – разные виды локальных особенностей
- Детекторы Харрис-Лапласиан и LoG (DoG) выделяют разные множества особенностей
- Можно применять их одновременно



# Дескрипторы

---

Точки найдены – как их сопоставить?



- Нужно как-то описать каждую точку, чтобы можно было отличать одну от другой!
- Дескриптор (Descriptor) - вектор признаков окрестности точки



# Дескрипторы

---

Необходимо каждую интересную точку описать набором параметров:



$$\mathbf{f}_n = (f_{n,1}, \dots, f_{n,j})^T$$

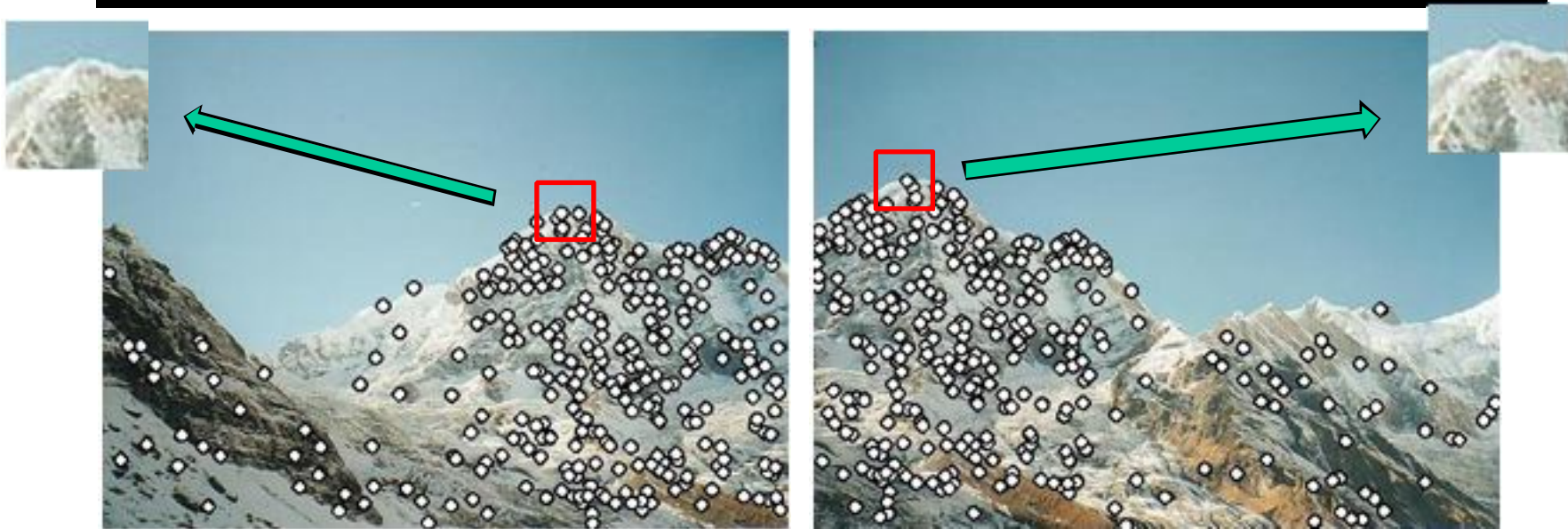
Как будем поступать:

- Возьмём окрестность точки
  - Какой формы?
  - Какого размера?
- Вычислим по окрестности набор признаков
  - Какие?





# Простейший подход

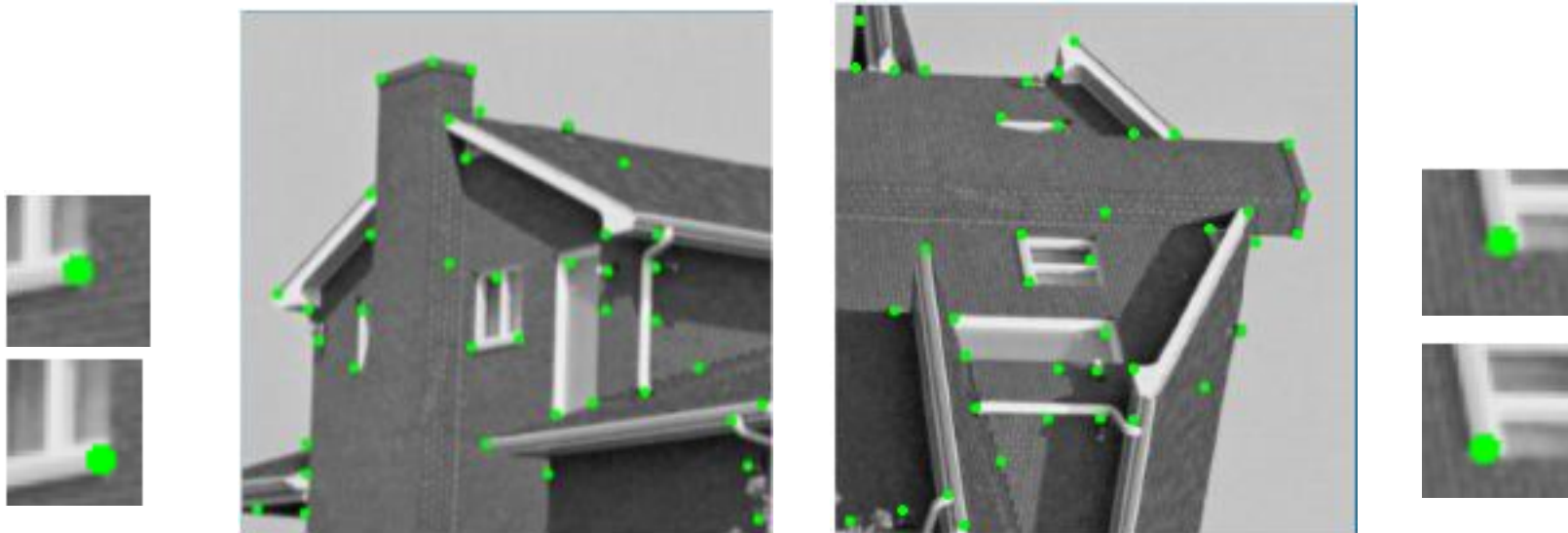


- Возьмём квадратные окрестности, со сторонами, параллельными строкам и столбцам изображения
- Яркости пикселов будут признаками
- Сравнивать будем как два изображения - попиксельно (SAD, SSD)
- Такая окрестность инвариантна только к сдвигу изображения



# Недостаток простой окрестности

---



- Детектор точек инвариантен к повороту, а окрестность нет
- Небольшие сдвиги, т.е. ошибки в нахождении точки делают невозможным попиксельное сравнение



# Метод SIFT

---

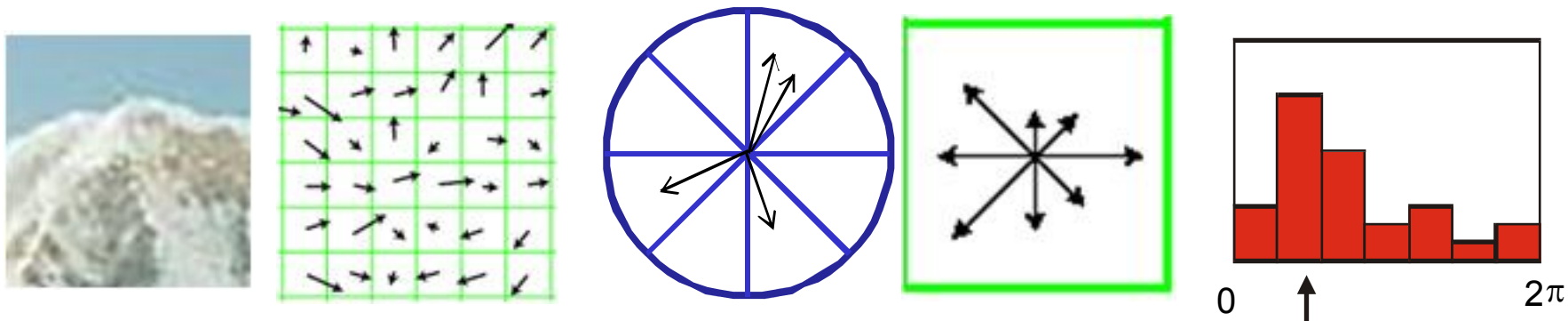
- Scale-Invariant Feature Transform:
  - Детектор DoG
    - Определение положения и характерного масштаба особенности
  - Ориентация
    - Определение доминантной ориентации особенности по градиентам
  - Deskriptor
    - Использование статистик по направлению градиентам
- Устойчив к изменениям освещенности и небольшим сдвигам

David G. Lowe. ["Distinctive image features from scale-invariant keypoints."](#) *IJCV* 60 (2), pp. 91-110, 2004.





# Гистограмма ориентаций градиентов

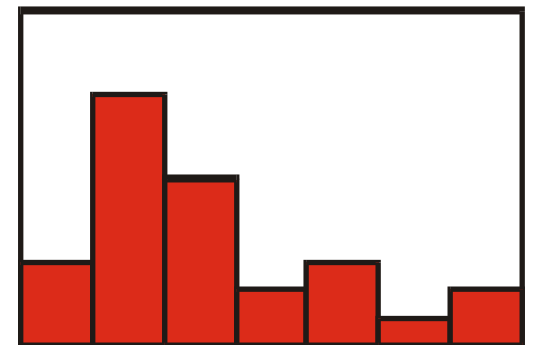
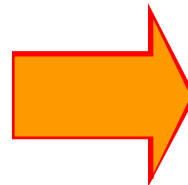
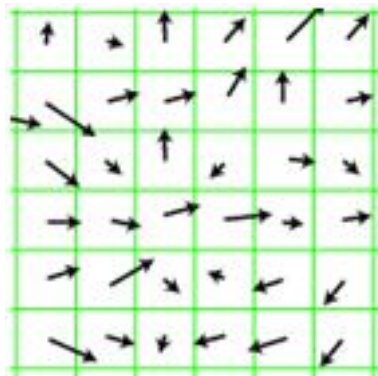


- Основа дескриптора SIFT – подсчёт гистограммы ориентаций градиентов
  - Вычислим направление градиента в каждом пикселе
  - Квантуем ориентации градиентов на 8 ячеек (направлений)
    - Понетим каждый пиксель номером ячейки
  - Посчитаем гистограмму направлений градиентов
    - Для каждой ячейки посчитаем количество пикселей с номером этой ячейки



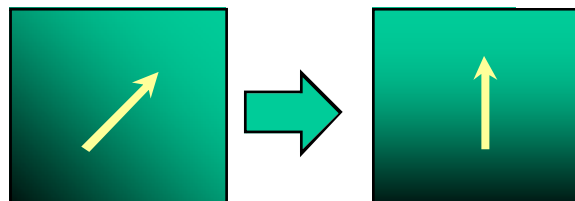
# Ориентация фрагмента

- Идея: найти основное (доминантное) направление градиентов пикселей в окрестности точки
- Выберем в гистограмме ячейку с максимальным значением, возьмём это направление как доминирующее



0  $\pi$   $2\pi$  направление

- Повернем фрагмент так, чтобы дом градиента было направлен вверх



- Если локальных максимумов несколько – считаем, что несколько точек с разной ориентацией



# Окрестность особенности

---



- Для каждой найденной особенности теперь знаем характеристические масштаб и ориентацию
- Выберем соответствующую прямоугольную окрестность
  - (Rotation Invariant Frame)
- Приведем окрестность к стандартному размеру (масштабируем)



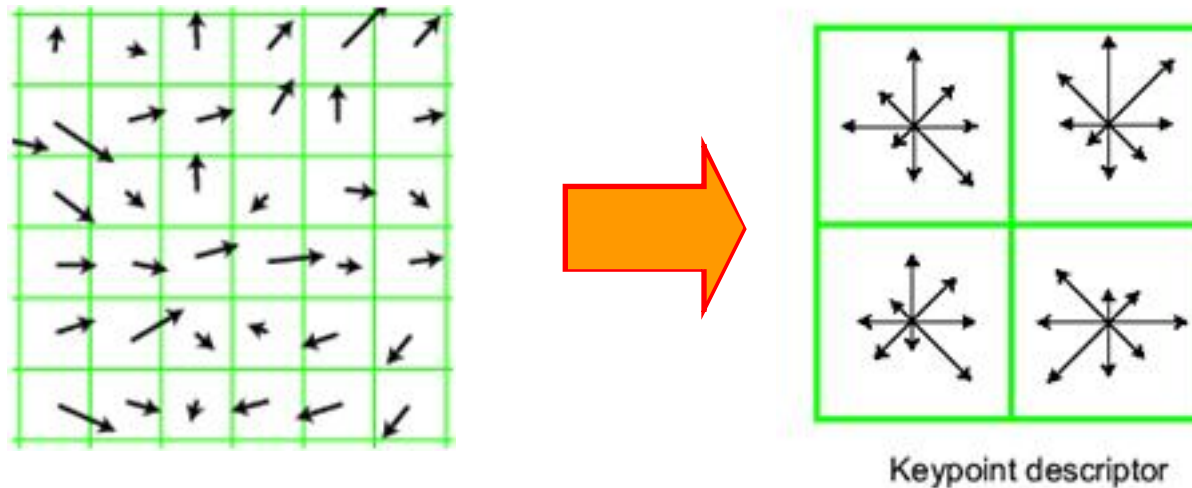
# Пример локальных особенностей

---





# Построение дескриптора



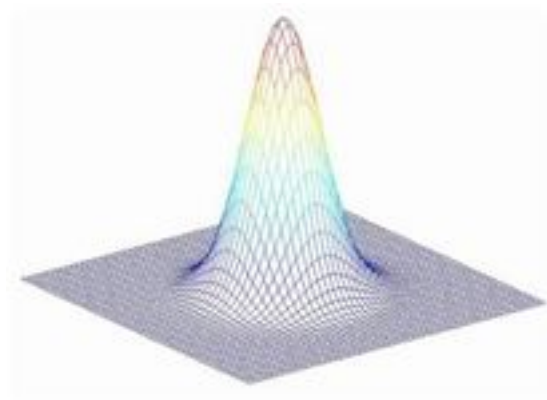
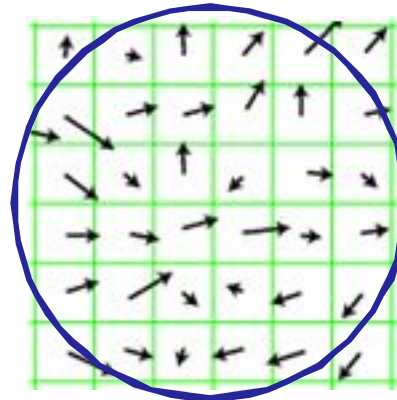
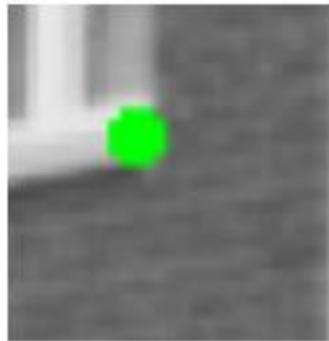
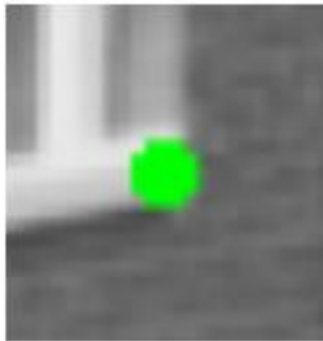
- Для учета пространственного распределения свойств разделим окрестность на блоки сеткой, в каждом блоке посчитаем свою гистограмму градиентов
- Обычно – сетка 4x4, в каждой гистограмма с 8ю ячейками
- Стандартная длина вектора-дескриптора – 128 ( $4 \times 4 \times 8$ )
- Можем использовать обычную меру SSD для сравнения дескрипторов
- Можем использовать другие метрики, учитывающие, что дескриптор SIFT – это гистограмма





# Устойчивость к сдвигам

---



- За счёт чего можно дескриптор сделать устойчивым к небольшим сдвигам?
- Использовать ядро при расчёте гистограммы
  - Взвешиваем вклад пикселей по ядру
  - Веса рассчитываем в зависимости от близости к центру, по Гауссине
  - Небольшие изменения в локализации (положении, масштабе и ориентации) будут приводить к небольшим изменениям дескриптора

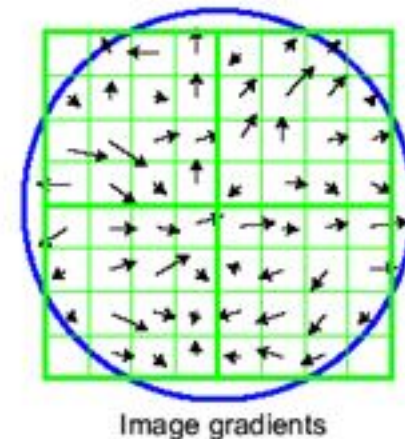




# Резюме SIFT

---

- Детектор SIFT весьма специфичен, устойчив к изменениям освещения, небольшим сдвигам
- Вся схема SIFT (детектор, выбор окрестностей, дескриптор) оказалась очень эффективным инструментом для анализа изображений
- Очень широко используется
- Запатентован
- Модель для многих других дескрипторов

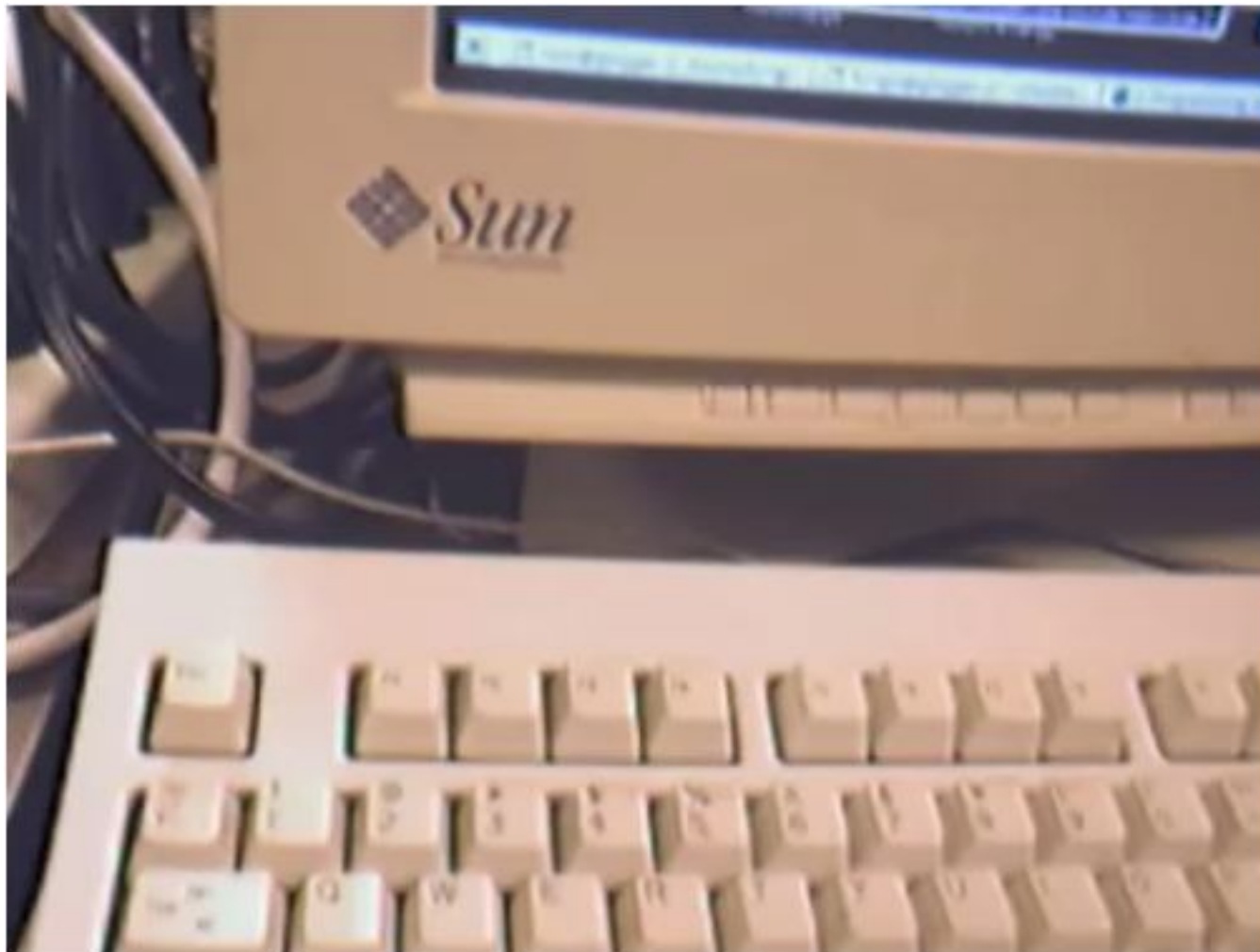




# Пример выделения SIFT

---

Яндекс





Дескрипторы продолжают активно исследоваться:

- Уменьшение размера
  - Разные формы сжатия
- Ускорение
  - Более простые признаки
- Обучение
  - Подбор оптимальных параметров



# Резюме локальных особенностей

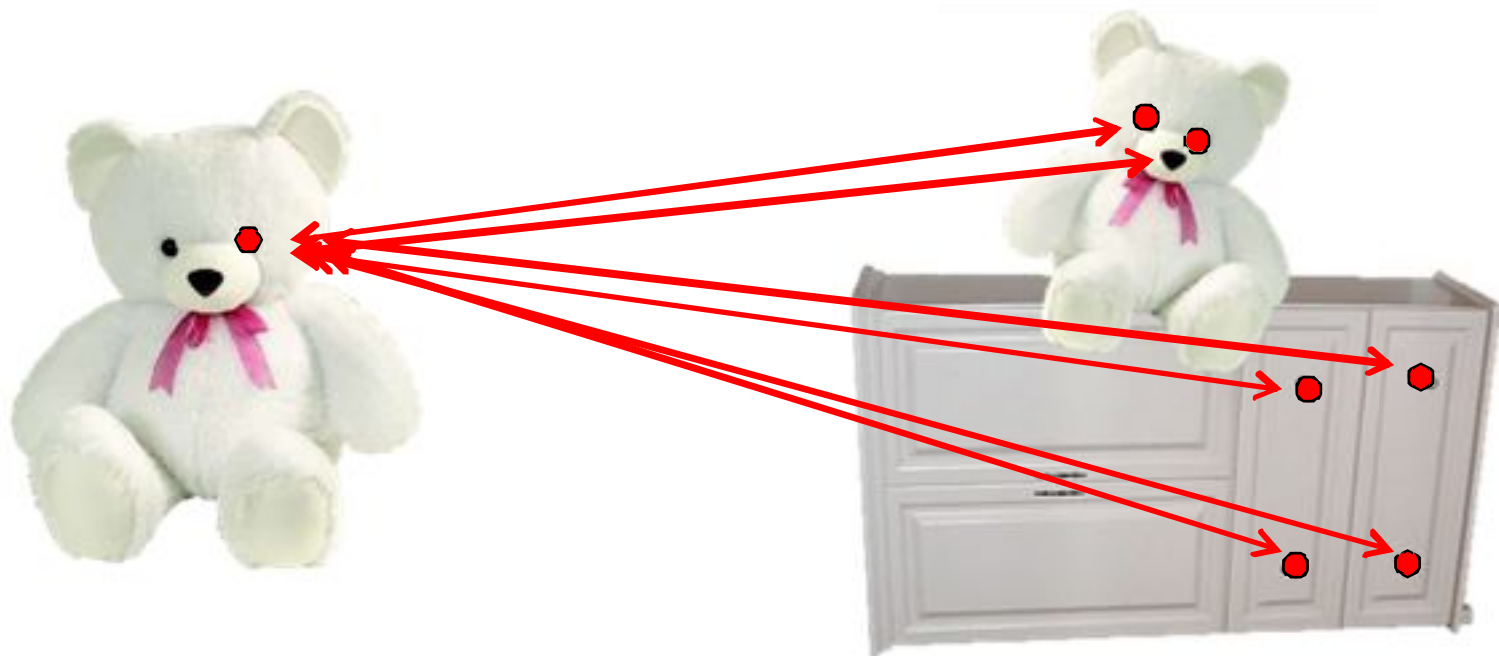
---

- Локальные характерные особенности - один из основных инструментов для анализа изображений
- Особенности должны быть устойчивы к изменению положения, масштаба, ракурса и освещения изображения
- Мы рассмотрели несколько методов:
  - Детекторы: Harris, LoG, DoG, Harris-Laplace
  - Дескрипторы: Окрестность, SIFT



# Сопоставление изображений

---

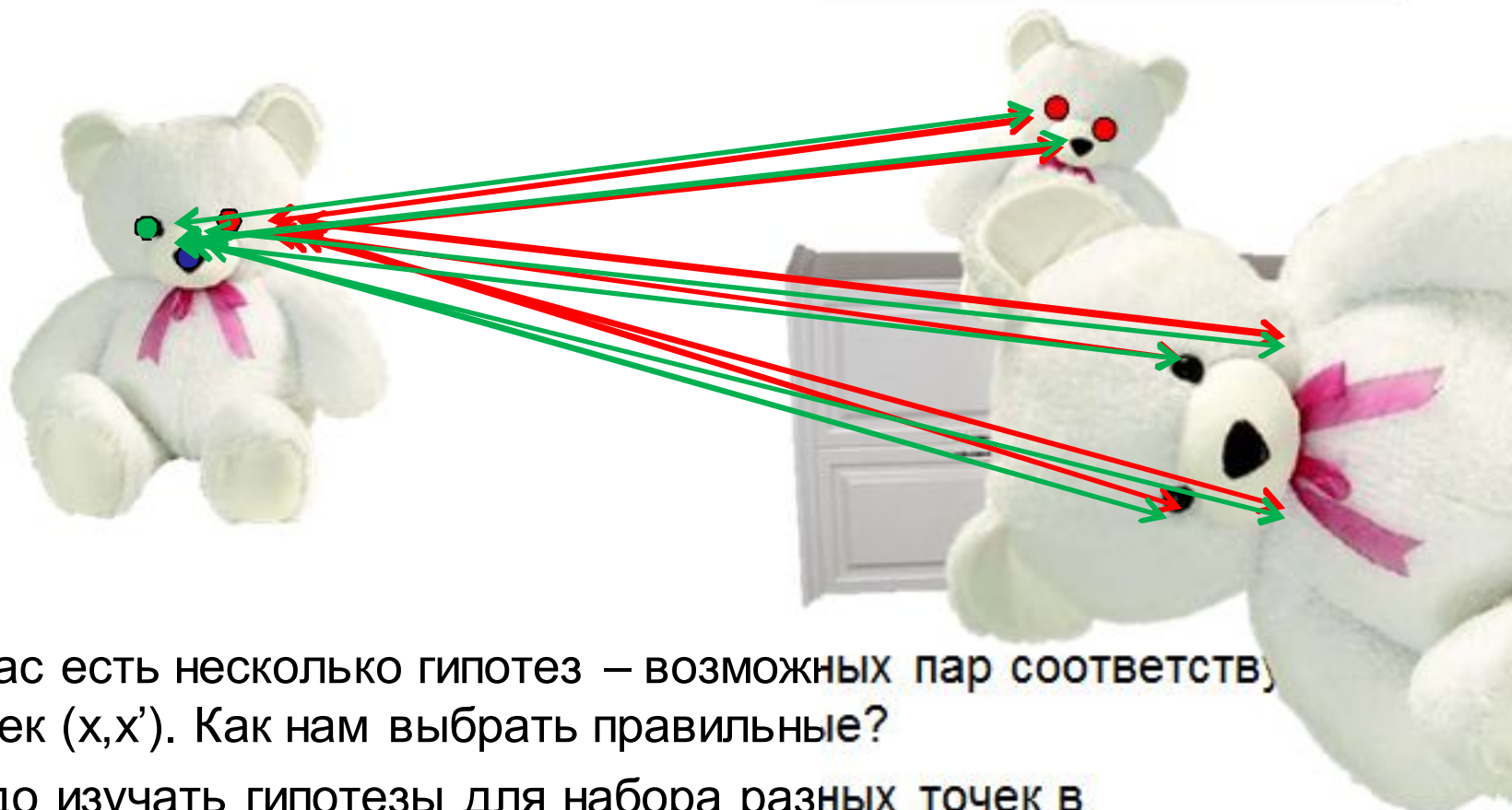


- Ищем медведя на новой картинке с помощью особых точек
- Какие могут возникнуть проблемы?
- Несколько точек могут быть похожи
- Возникают ложные соответствия



# Сопоставление изображений

---



- У нас есть несколько гипотез – возможных пар соответствующих точек  $(x, x')$ . Как нам выбрать правильные?
- Надо изучать гипотезы для набора разных точек в «совокупности», проверять, согласуются ли они друг с другом
- Что, в этом случае, значит «согласуются друг с другом»?
- Удовлетворяют одному геометрическому преобразованию!





# Ошибки в данных

---



- Какая модель преобразования  $T$  «правильная» для медведя?
  - Определенная комбинация сдвига + поворота + масштабирования
- Обозначим одним цветом пару соответствующих точек
- Какие пары соответствующих точек («соответствия») на картинке согласуются друг с другом, а какие нет?
- Элементы данных, удовлетворяющие модели  $T$  называются «inlier» («вброс»)
- Не удовлетворяющие  $T$  – «outlier» («выброс»)



# Общая схема работы

---



- Найти особые точки, вычислить дескрипторы
- Сопоставить точки по дескрипторам, получить соответствия («putative correspondence»)
- По набору соответствий, с учетом возможных ошибок измерения положения точек и выбросов, вычислить модель преобразования  $T$
- Отфильтровать выбросы в соответствиях



- *Идея* – проведение оценки не по всем данным, а выборке, не содержащей выбросов
- Поскольку какие элементы данных – выбросы – заранее неизвестно, то...
  - ...строим много выборок случайным образом!
- По каждой выборке строим гипотезу
- Среди всех гипотез выберем ту, которая лучше всего согласуется со всеми данными
- Random sample consensus (RANSAC)

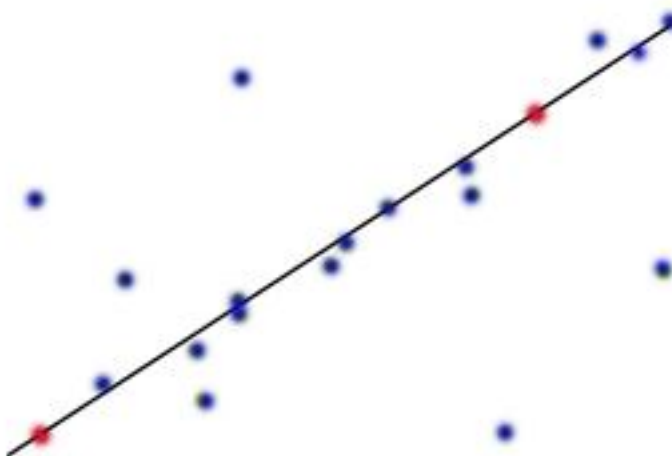
M. A. Fischler, R. C. Bolles. [Random Sample Consensus: A Paradigm for Model Fitting with Applications to Image Analysis and Automated Cartography](#). Comm. of the ACM, Vol 24, pp 381-395, 1981.



# Выборка как основа схемы

---

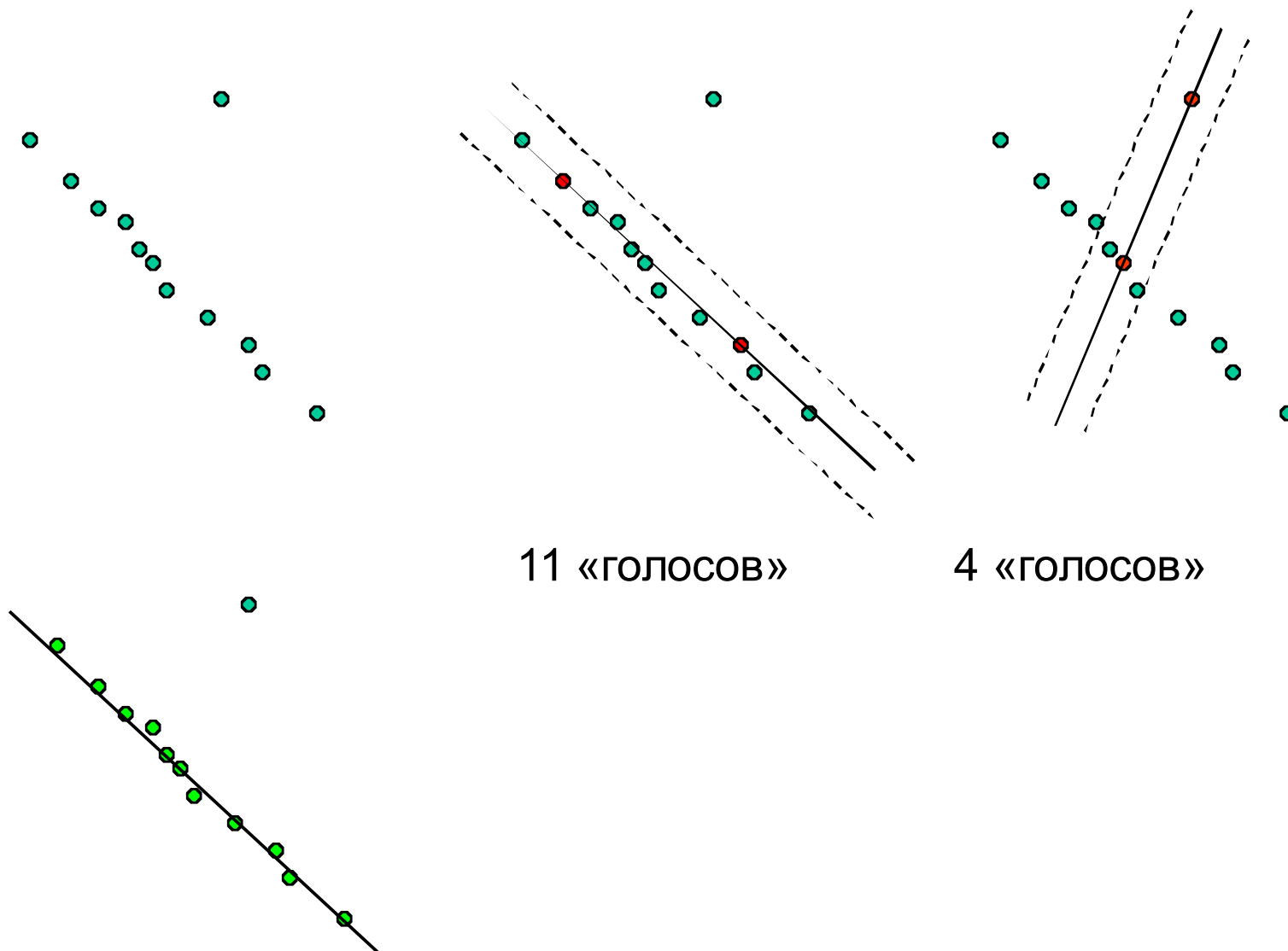
- Основой RANSAC является оценка модели по небольшой выборке  $S \subset x$
- Проблема - количество таких выборок огромно
- Поэтому будем строить гипотезы по выборке минимального размера
- Для прямой:



А для геометрических преобразований сколько?



# Пример RANSAC





# Базовая схема RANSAC

---

Повторяем  $N$  раз:

- (i) Построение случайной выборки  $S \subset X$
- (ii) Построение гипотезы  $\Theta$  по выборке  $S$
- (iii) Оценка качества гипотезы  $\Theta$  по набору исходных данных  $X$
- (iv) Если гипотеза  $\Theta$  лучше предыдущих, запоминаем её

После завершения итераций:

- (i) Построение чистой выборки  $X'$  путём фильтрации выбросов, не удовлетворяющих  $\Theta_{\text{best}}$
- (ii) Уточнение гипотезы  $\Theta_{\text{best}}$  по  $X'$





# Сколько гипотез нужно проверить?

---

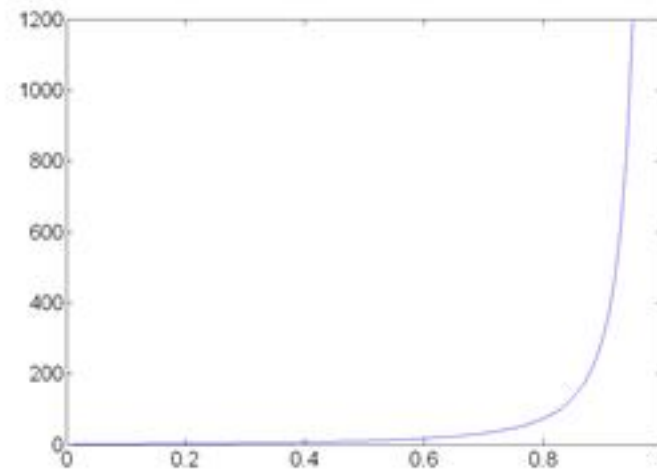
$$\left(1 - (1 - e)^s\right)^N = 1 - p \quad N = \log(1 - p) / \log(1 - (1 - e)^s)$$

- $N$  – количество выборок
- $p$  – вероятность получить хорошую выборку за  $N$  итераций;
- $s$  – количество элементов в выборке
- $\varepsilon$  – процент хороших точек в наборе



# Количество итераций

| s | proportion of outliers $e$ |     |     |     |     |     |      |
|---|----------------------------|-----|-----|-----|-----|-----|------|
|   | 5%                         | 10% | 20% | 25% | 30% | 40% | 50%  |
| 2 | 2                          | 3   | 5   | 6   | 7   | 11  | 17   |
| 3 | 3                          | 4   | 7   | 9   | 11  | 19  | 35   |
| 4 | 3                          | 5   | 9   | 13  | 17  | 34  | 72   |
| 5 | 4                          | 6   | 12  | 17  | 26  | 57  | 146  |
| 6 | 4                          | 7   | 16  | 24  | 37  | 97  | 293  |
| 7 | 4                          | 8   | 20  | 33  | 54  | 163 | 588  |
| 8 | 5                          | 9   | 26  | 44  | 78  | 272 | 1177 |



- Количество выборок быстро растет с ростом размера выборки и доли выбросов
- Как быть, если мы не знаем долю выбросов в данных?



# Адаптивное завершение алгоритма

---

- Доля  $\epsilon$  обычно заранее неизвестна, поэтому начинаем с грубой оценки (пр.: 50%), затем вычисляем оценку хороших точек для каждой гипотезы
- Процедура:
  - $N = \infty$ ,  $sample\_count = 0$
  - While  $N > sample\_count$ 
    - Строим выборку, гипотезу, оцениваем кол-во inliers
    - Установим  $\epsilon = 1 - (\text{number of inliers}) / (\text{total number of points})$
    - Перевычислим  $N$  по  $\epsilon$ :
$$N = \log(1 - p) / \log(1 - (1 - \epsilon)^s)$$
    - Увеличим  $sample\_count$  на 1



# Функции качества

---

Первоначально было предложено 2 способа оценки качества гипотез:

## RANSAC

$$R(\theta) = \sum_i p(\varepsilon_i(\theta)^2), \quad p(\varepsilon_i^2) = \begin{cases} 1 & \varepsilon_i^2 \leq T^2 \\ 0 & \varepsilon_i^2 > T^2 \end{cases}, i = \overline{1, n}$$

$\varepsilon_i(\theta)$  - невязка  $i$ -ой точки и оцениваемой гипотезы

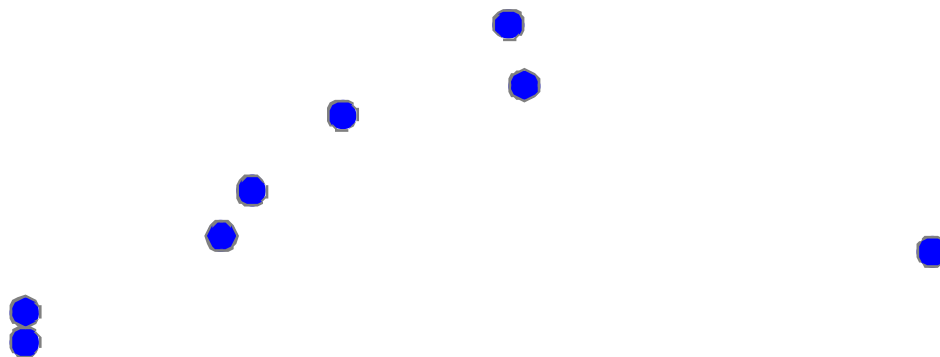
## LMS (Least median squares)

$$R(\theta) = \text{median}(\varepsilon_i(\theta)^2), i = \overline{1, n}$$



# Большой порог – проблема RANSAC!

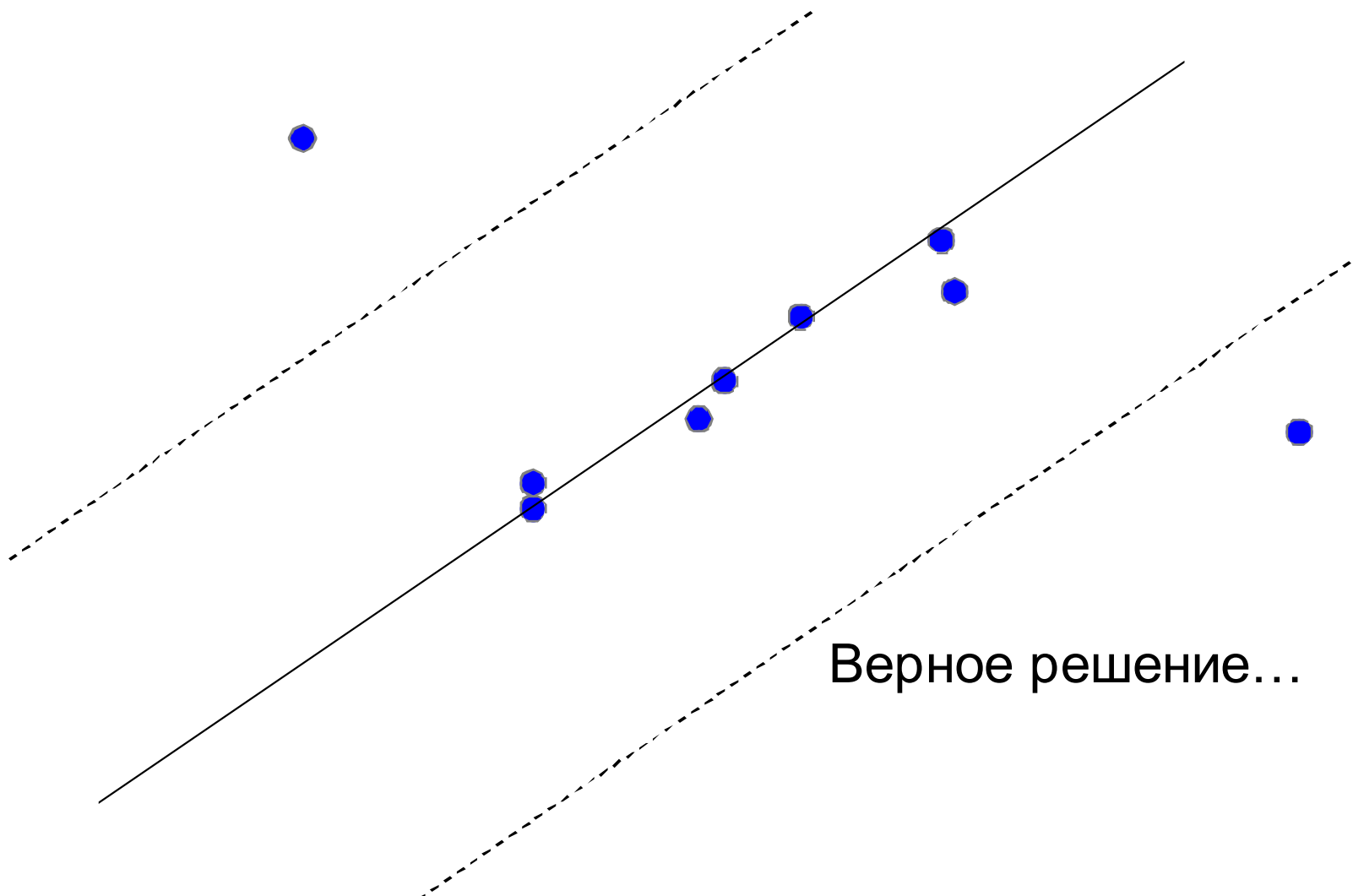
---





# Большой порог – проблема!

---

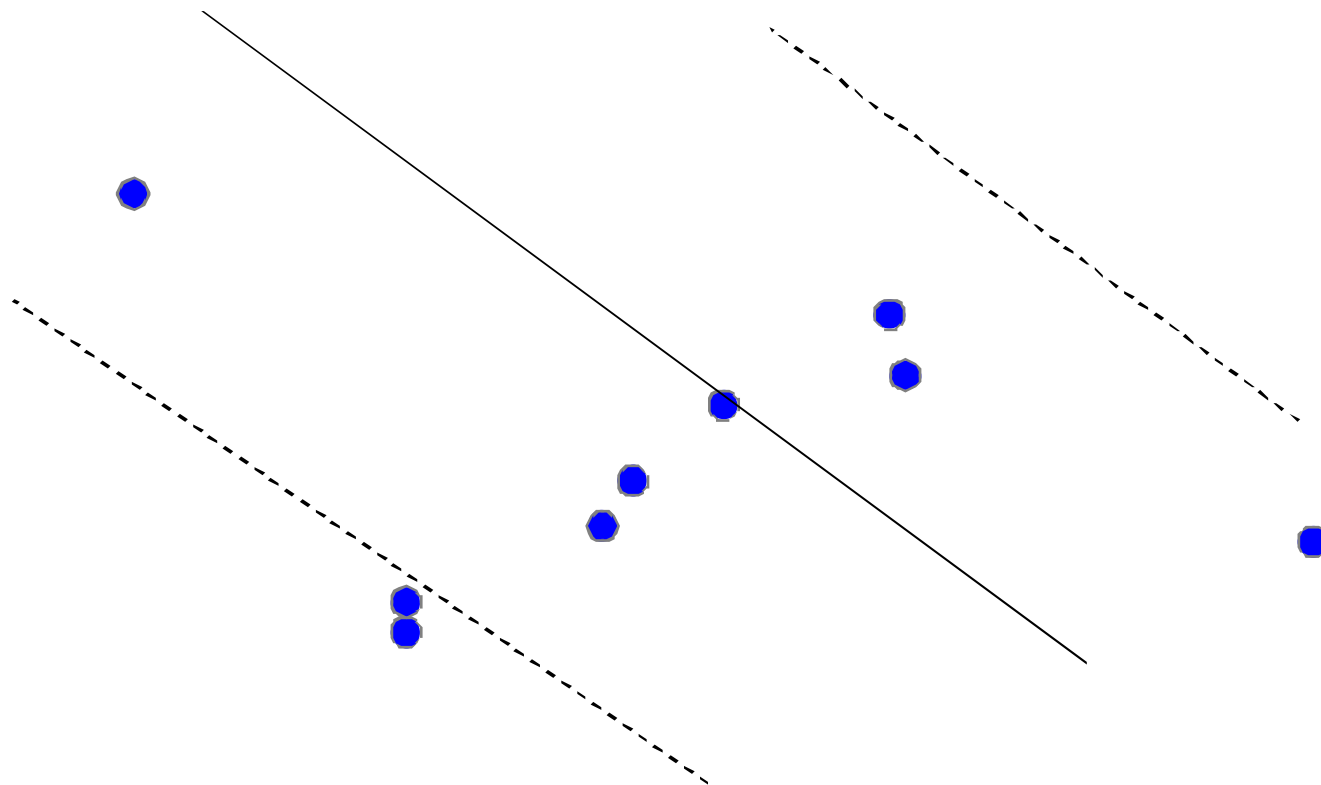






# Большой порог – проблема!

---

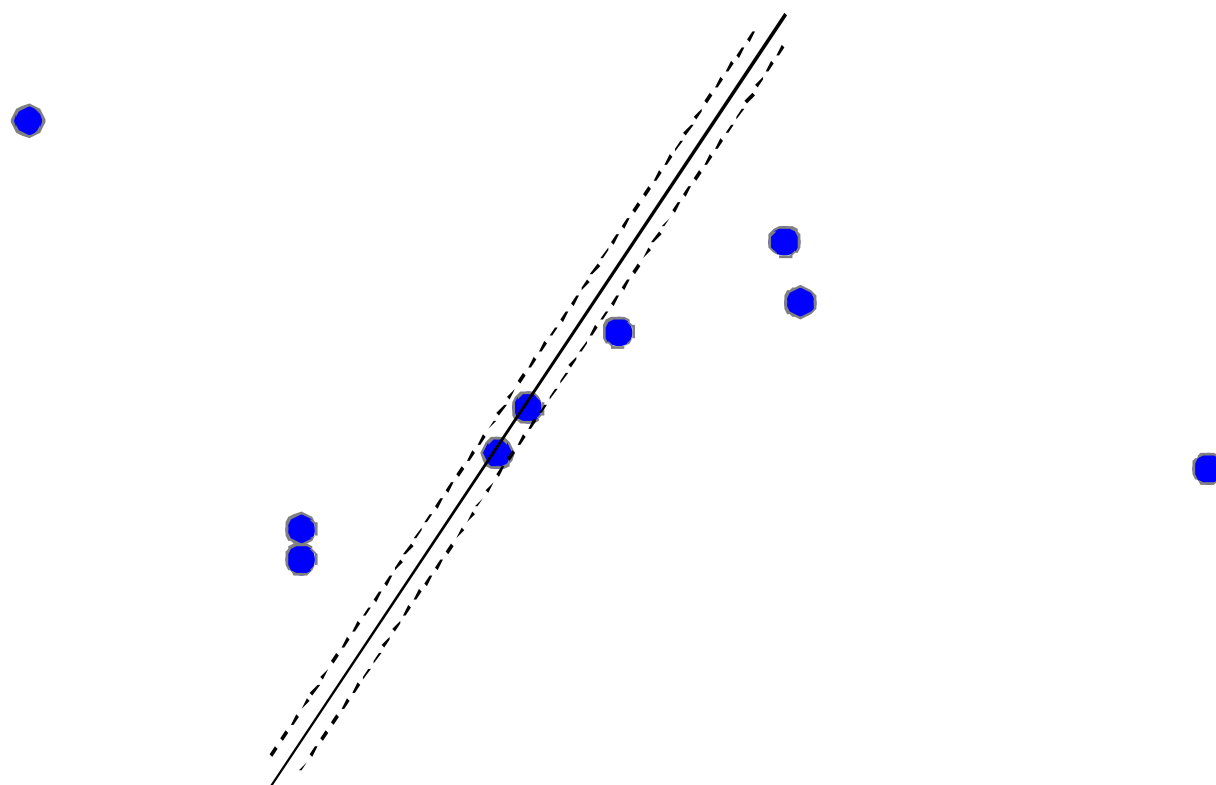


...эквивалентно  
неверному



# Маленький порог – проблема!

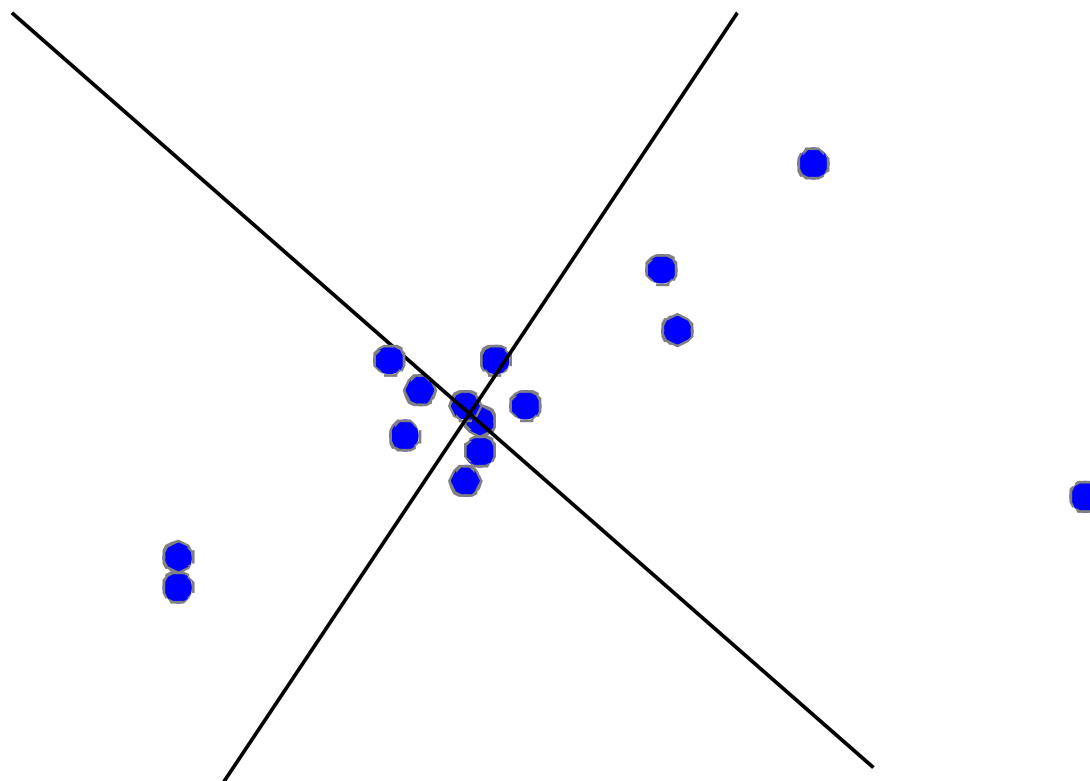
---





# Проблема LMS

---



Нет хорошего  
решения, если  
выбросов  $> 50\%$

Медиана ошибки одинакова  
для обоих решений



# Функции качества

---

## • M-SAC

- Возьмём робастную функцию, называемую М-оценкой, в качестве целевой функции:

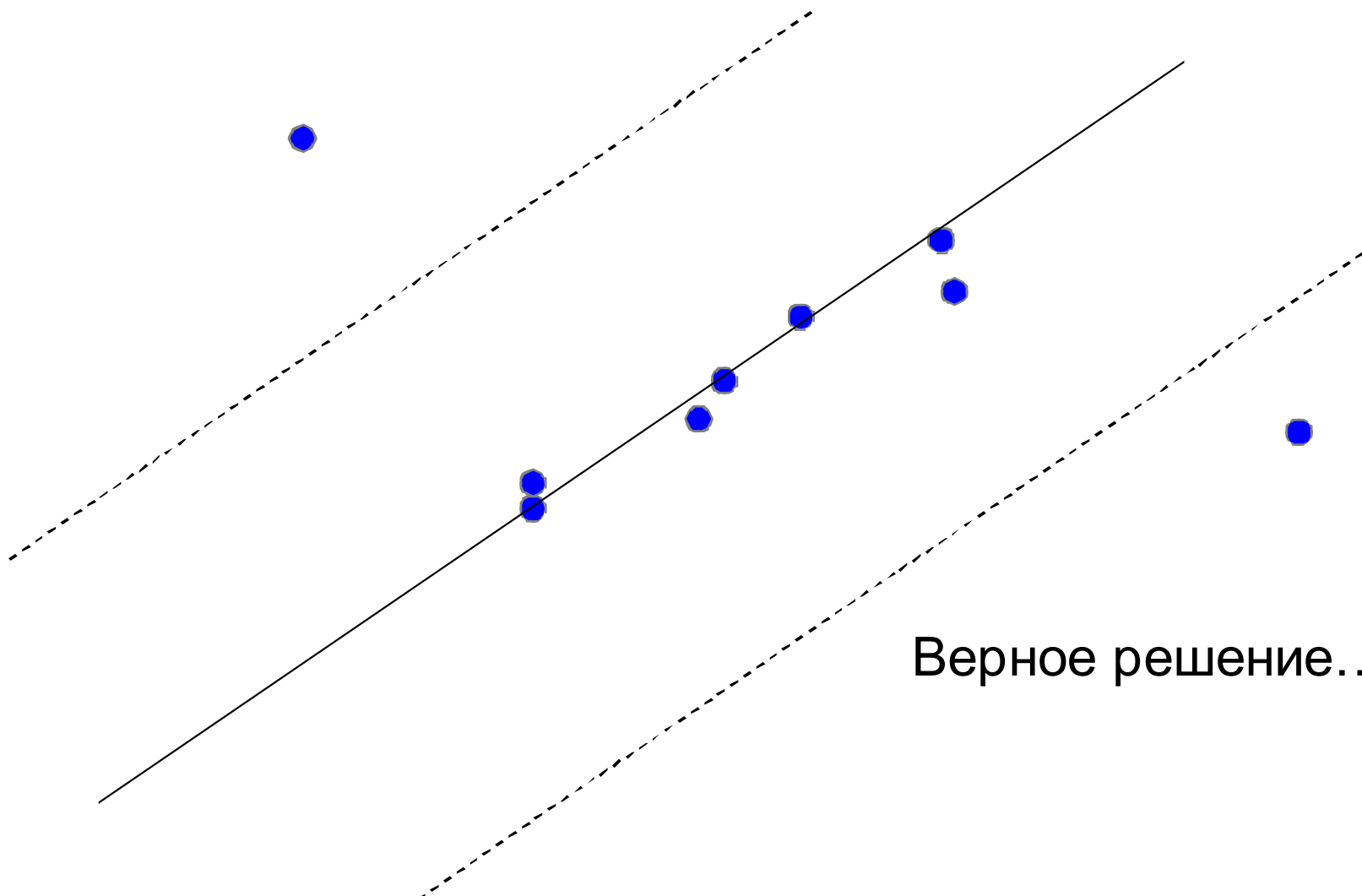
$$R(\theta) = \sum_i p(\varepsilon_i(\theta)^2), \quad p(\varepsilon_i^2) = \begin{cases} \varepsilon_i^2 & \varepsilon_i^2 \leq T^2 \\ T^2 & \varepsilon_i^2 > T^2 \end{cases}, i = \overline{1, n}$$

- M-SAC дает более точную оценку без увеличения вычислительной сложности



# M-SAC

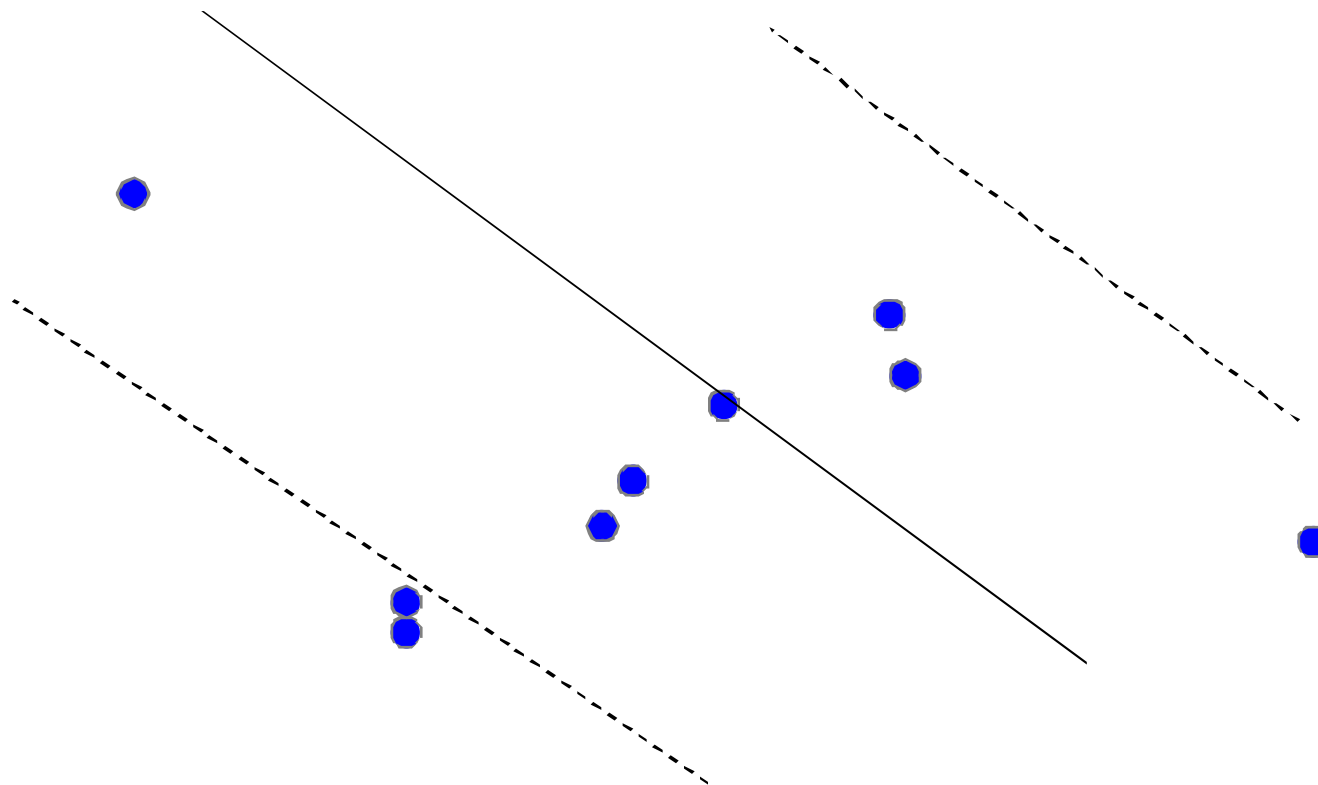
---





# M-SAC

---

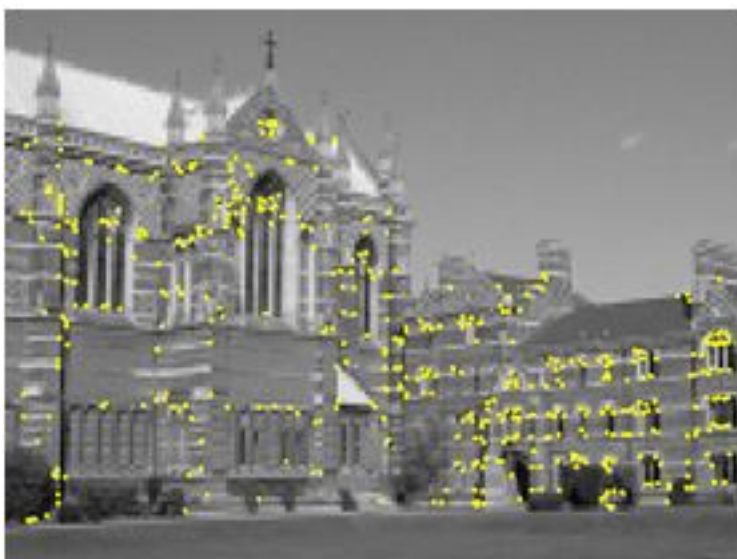


Лучше неверного

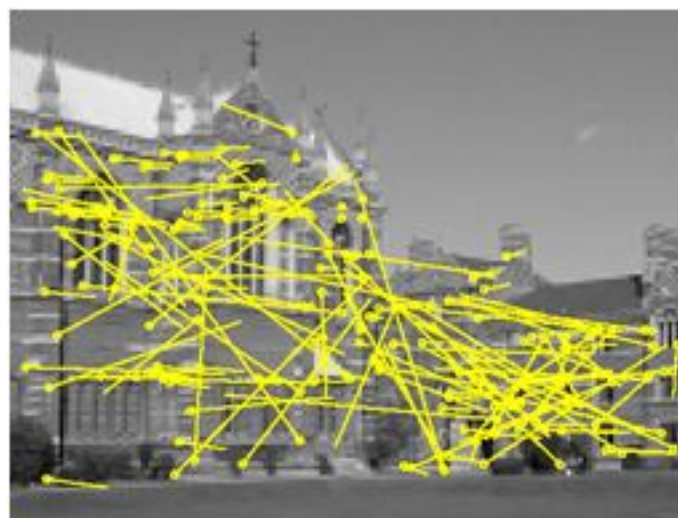




## Пример использования



Сопоставление  
изображений



Сопоставление  
особенностей по  
дескрипторам –  
много ложных



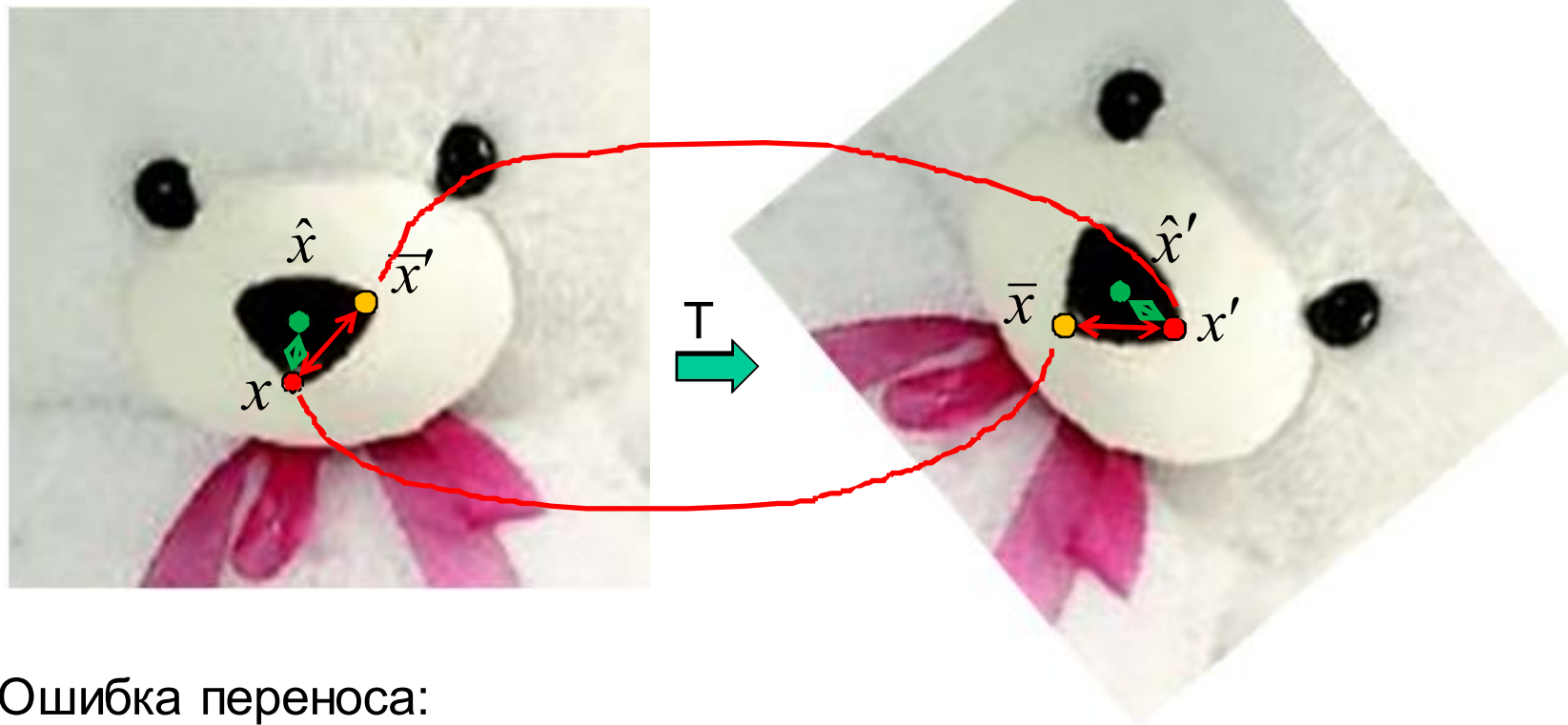
# Алгоритм сопоставления

---

- Дано  $\{(x, x')\}$  – набор пар соответствующих точек на изображениях  $I$  и  $I'$
- Вычислим модель преобразования  $\Theta$  между изображениями  $I$  и  $I'$  по ключевым точкам с помощью RANSAC
- Отфильтруем выбросы в  $\{(x, x')\}$  по модели  $\Theta$ 
  - Если ошибка  $p(x, x') > T$  –  $(x, x')$  - выброс
- Уточним модель  $\Theta$ 
  - Метод наименьших квадратов по всем Inliers
  - Пересчёт inliers и outliers
  - Итеративный пересчёт
  - Нелинейная оптимизация по всем данным с М-функцией в качестве целевой



# Геометрические преобразования



Ошибка переноса:

$$\sum_i d^2(x'_i, \bar{x}_i) + d^2(x_i, \bar{x}'_i) \quad \bar{x} = Tx \quad \bar{x}' = T^{-1}x'$$

Геометрическая ошибка:

$$\sum_i d^2(x'_i, \hat{x}'_i) + d^2(x_i, \hat{x}_i) \quad \hat{x}'_i = T\hat{x}_i$$



# Расчёт ошибок

---

- Ошибка переноса

$$\sum_i d^2(x'_i, \bar{x}_i) + d^2(x_i, \bar{x}'_i) \quad \bar{x} = Tx \quad \bar{x}' = T^{-1}x'$$

Рассчитывается достаточно просто

- Геометрическая ошибка

$$\sum_i d^2(x'_i, \hat{x}'_i) + d^2(x_i, \hat{x}_i) \quad \hat{x}'_i = T\hat{x}_i$$

Вычисление оптимальных  $(\hat{x}_i, \hat{x}'_i)$  зависит от конкретного преобразования.

Чаще всего геометрическая ошибка оптимизируется как нелинейная функция. Берутся начальные приближения для  $(\hat{x}_i, \hat{x}'_i)$  и итеративно оптимизируется.

Медленный, но самый точный метод.



# Ложные соответствия

---



500 особенностей



Соответствия (268)

Выбросы (117)

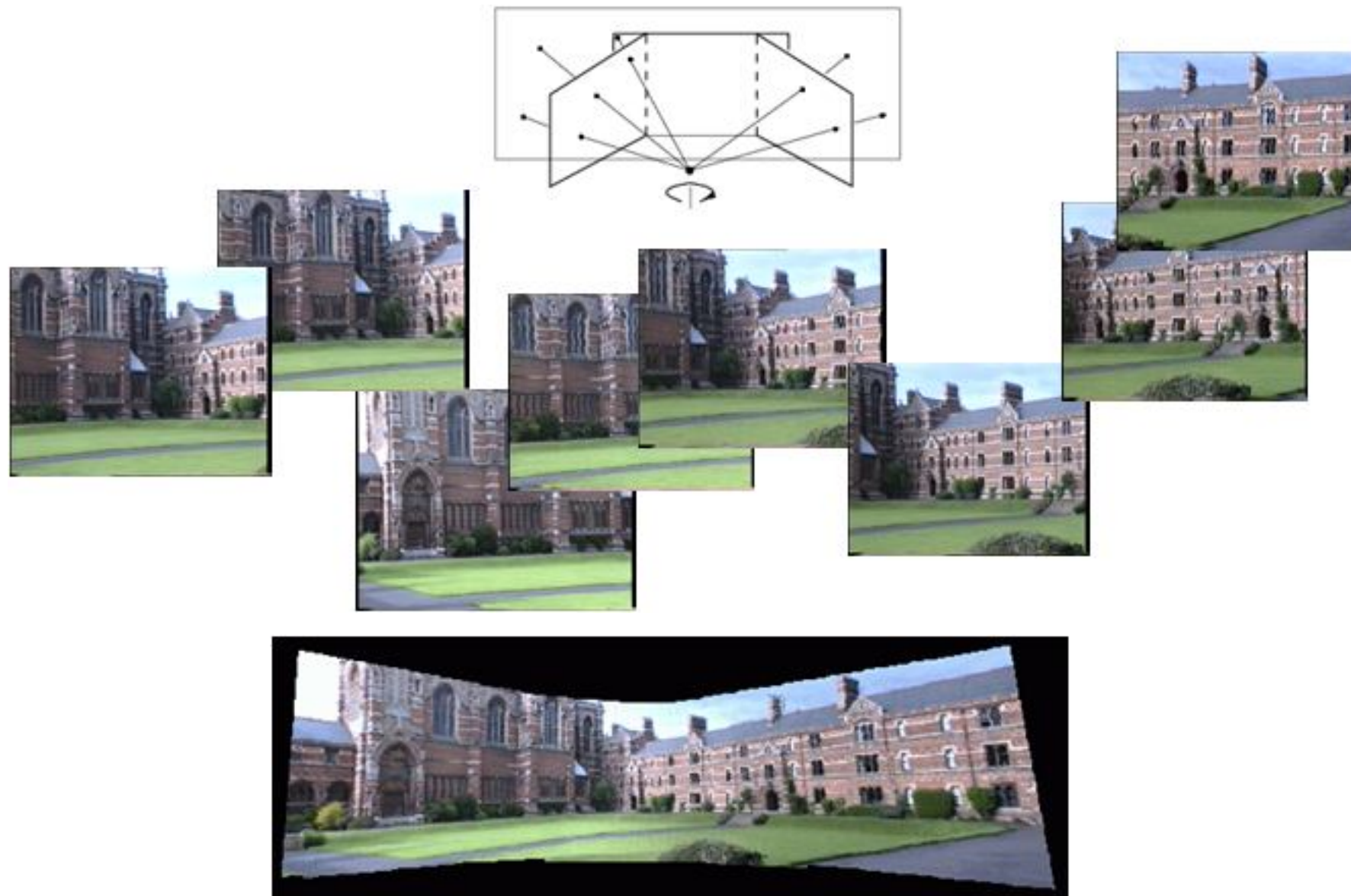


Хороших соответствий  
(151)





# Приложение: склейка панорам



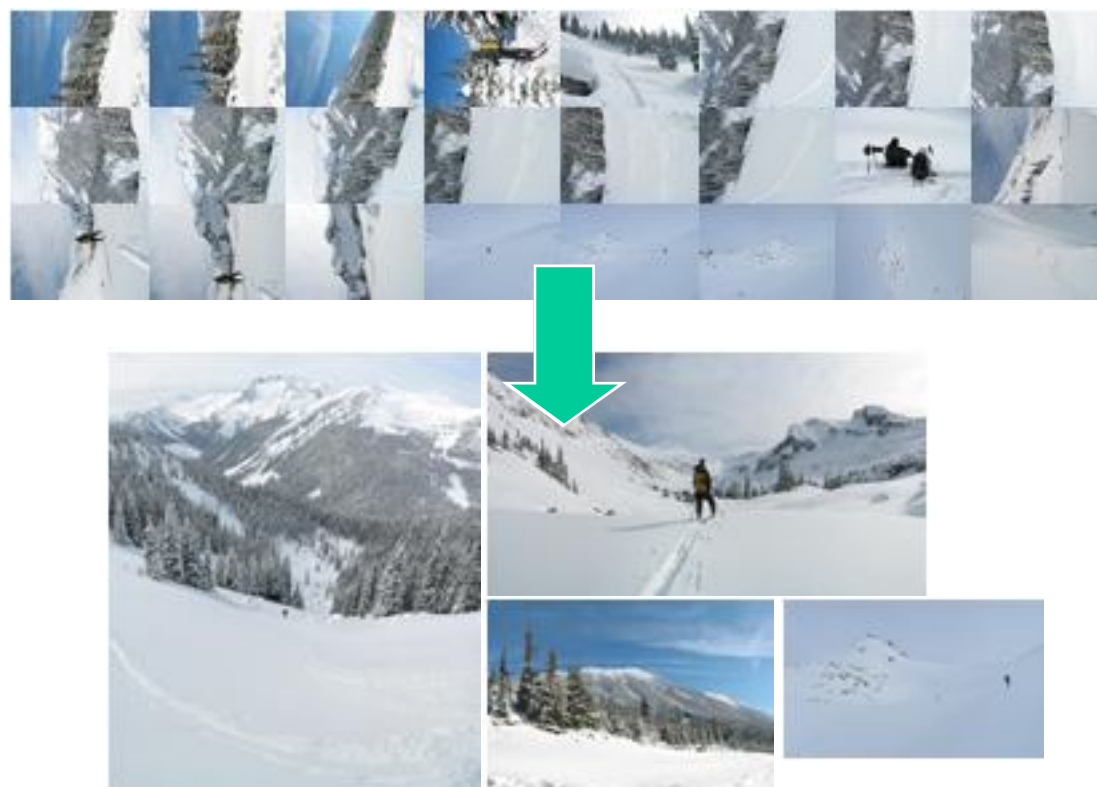




# Распознавание панорам

---

Благодаря мощи методов SIFT и RANSAC можно в неупорядоченном наборе фотографий определить, какие относятся к какой панораме, и сшить их



M. Brown and D. Lowe, *["Recognizing Panoramas,"](http://www.cs.ubc.ca/~mbrown/panorama/panorama.html)* ICCV 2003.  
<http://www.cs.ubc.ca/~mbrown/panorama/panorama.html>



# RANSAC pros and cons

---

- Плюсы
  - Простой и общий метод
  - Применим для множества задач
  - Хорошо работает на практике
- Минусы
  - Много настраиваемых параметров
  - Не всегда удается хорошо оценить параметры по минимальной выборке
  - Иногда требуется слишком много итераций
  - Не срабатывает при очень высокой доле выбросов
  - Часто есть лучший способ, нежели равновероятно выбирать точки